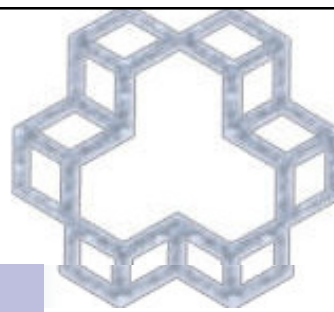


خدمت پذیری

فصل پنجم

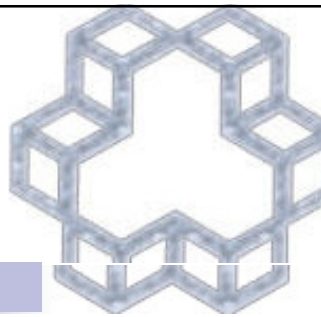
- 1 - ترك خور دگي
- 2 - تغيير شكل



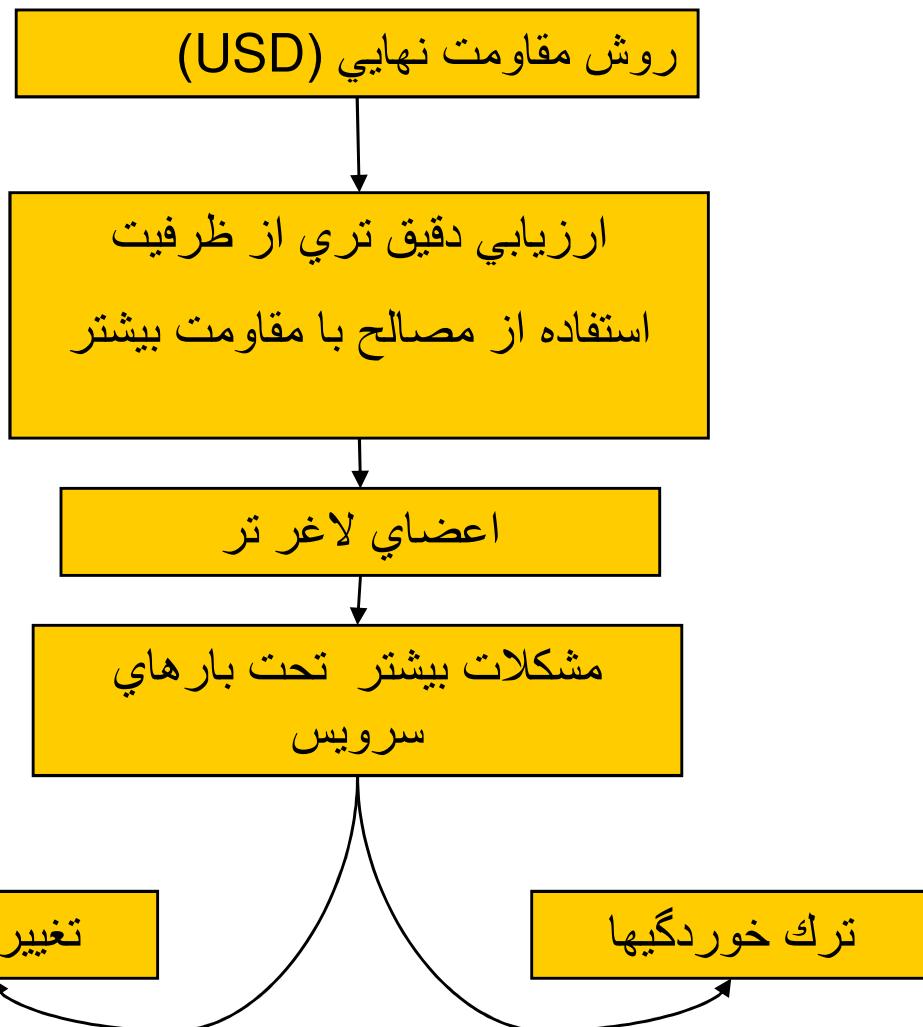
بدون اینکه خیس بشم می تونم از
رودخانه عبور کنم؟



یکی از موارد با اهمیت در بحث خدمت پذیری تغییر شکل است



کلیات

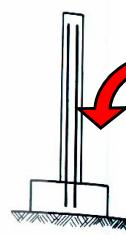
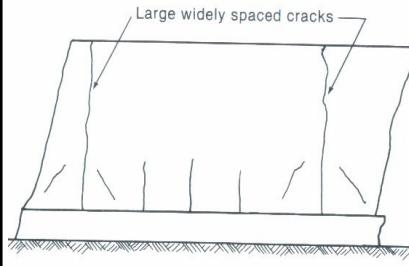
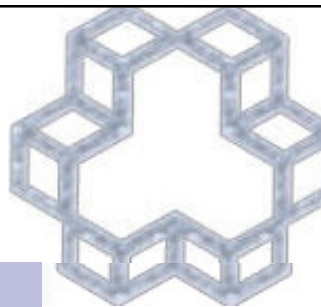


گذشته (قبل از 1960) : **Working Stress Design (WSD)**

استفاده از بتنهای با مقاومت حدود 10 تا 20 MPa و میلگردهای با مقاومت تسلیم 230-280 MPa کاربرد روش محافظه کارانه تنشهای مجاز سبب طراحی مقاطع سخت با تغییر شکلها کوچک می گردید. لذا نگرانی زیادی در ارتباط با کنترل تغییر شکل وجود نداشت.

امروزه: **Ultimate Stress Design (USD)**

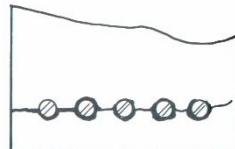
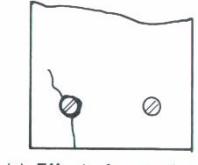
استفاده معمول از میلگردهای با مقاومت 400 MPa و بتن با مقاومت 60-20 MPa کاربرد روش مقاومت نهایی امکان استفاده از مقاطع کوچکتر را ممکن ساخته است.



عوامل ایجاد ترک:
بارها چون: لنگر، برش،..
2-تغییر شکل‌های اعمالی
ناشی از اثراتی چون:
حرارت، افت

ایجاد ترک
حرارتی

ایجاد ترک
در مجاورت
میلگرد



اعمال تغییر شکل

انواع حالات حdy خدمت پذیری:

عرض ترک زیاد

تغییر مکان زیاد

ارتعاش غیر دلخواه

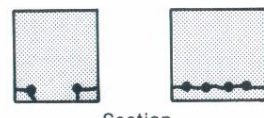
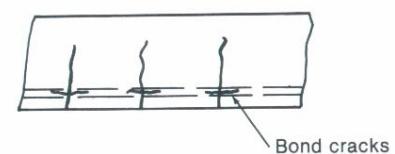
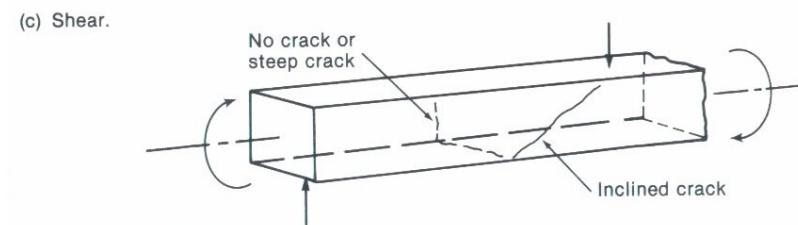
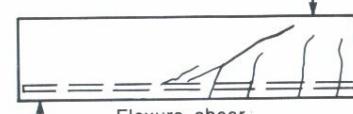
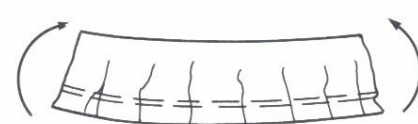
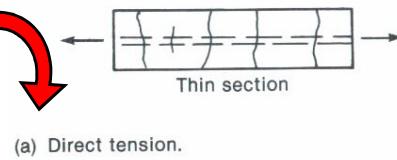
خستگی

دلایل کنترل عرض ترک:

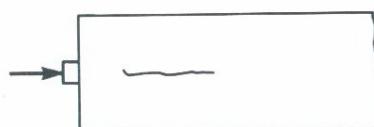
1- ظاهر

2- نفوذ رطوبت و فرار آب

3- نفوذ مواد خورنده و لذا تولید
گاز در اثر خوردگی

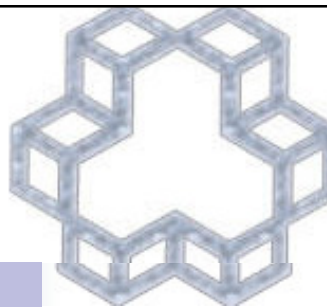


(e) Bond cracks.



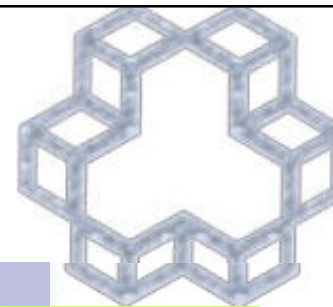
(f) Concentrated load.

اعمال بار

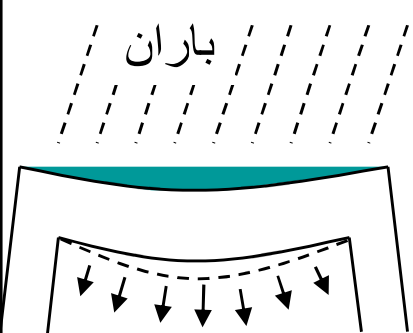
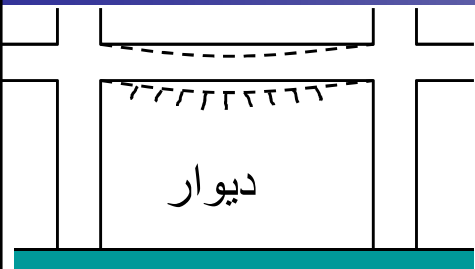


• فصول

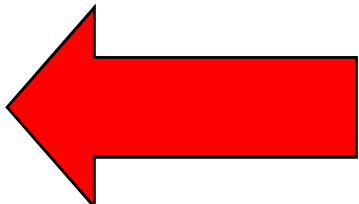
- ❑ خدمت پذیری چیست؟
- ❑ ترک خوردگی در اعضای بتن آرمه
- ❑ ضوابط آین نامه آبا و ACI در ارتباط با ترک خوردگی
- ❑ تغییر شکلها برای مقاطع الاستیک
- ❑ تغییر شکلهای آنی
- ❑ تغییر شکلهای ناشی از افت و وارفتگی
- ❑ ضوابط آین نامه آبا و ACI در ارتباط با تغییر شکل



خدمت پذیری چیست؟



هدف ما جلوگیری
از ترک نیست
بلکه کنترل
عرض آن
است.



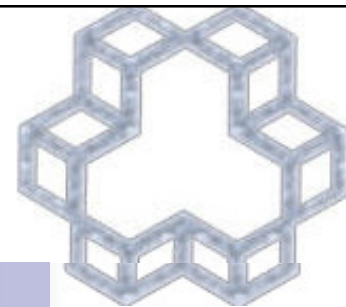
- ارضای عملکرد مطلوب تحت بارهای خدمت را گویند. به عبارت دیگر تغییر شکلها و سایر عوامل مانند عرض ترک ها تحت بارهای سرویس از مقدار مجاز تجاوز نماید.
- در صورت عدم رعایت ضوابط مربوطه:
 - 1-آسیب به نازک کاریها و تزئینات داخلی
 - 2-لرزش زیاد سبب آسیب به ساکنان و ماشین آلات حساس می گردد.
 - 3-ترک خوردگی سبب خورندگی و زنگ زدگی آرماتورها می شود.
 - 4-جمع شدگی آب روی پشت بام و لذا افزایش بار وارد
 - 5-ظاهر ناخوشایند

ترک خوردگی در اعضای بتن آرمه

بتن در برابر کشش ضعیف است لذا بسیاری از سازه های بتن آرمه تحت بارهای سرویس ترک بر می دارند.

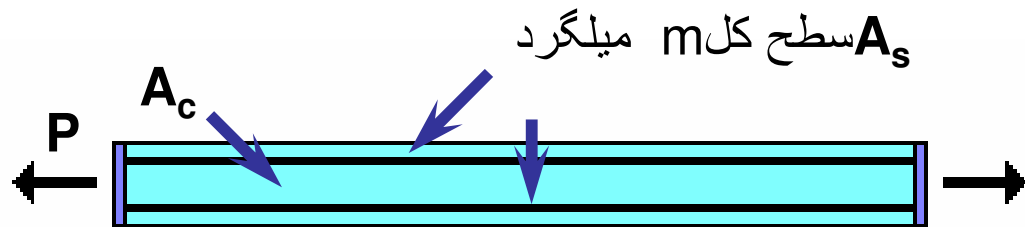
ترک ممکن است:

نوع قابل رویت آسیب رساننده است
برای طول عمر سازه مضر است
برای سازه های مرتعش خطرناک است.



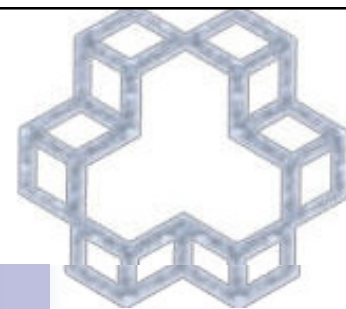
ترک خوردگی اعضاء کششی

- در این بخش فقط اثر کشش مستقیم را بررسی می کنیم. در فصل بعد به ترک حاصل از خمش می پردازیم (تئوری Parsons و Watstein).
- مدل مورد مطالعه عضو منشوری است با میلگرد گذاری متقارن.



چند پرسش:

- 1- کجا و در چه سطح از بار اولین ترک اتفاق می افتد؟
- 2- در محدوده ترک چه اتفاقی می افتد.؟
- 3- کجا ترکها اتفاق می افتد؟
- 4- فاصله ترکها چقدر است؟
- 5- مقدار تنش و کرنش در طول میلگردها چگونه تغییر می کند؟



$$\rho = A_s / A_c$$

$$n = E_s / E_c$$

مقاومت کشی بتن = f_t

$$P = F_c + F_s$$

$$= A_c \sigma_{ct} + A_s \varepsilon E_s$$

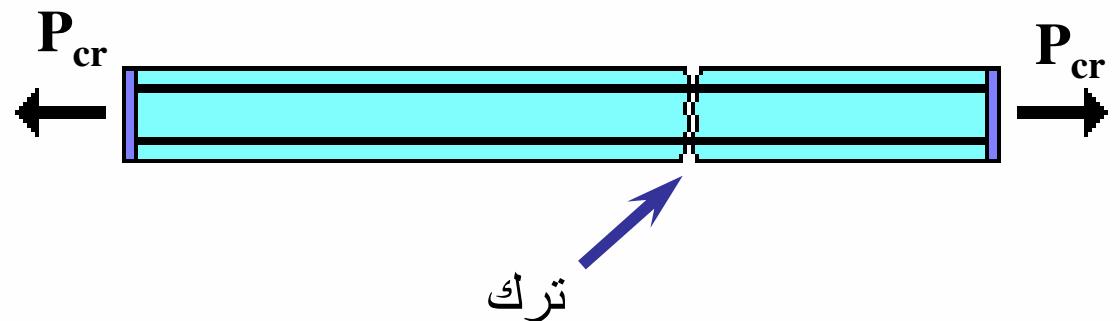
$$= A_c \sigma_{ct} + A_s \frac{\sigma_{ct}}{E_c} E_s$$

$$= A_c \sigma_{ct} (1 + \rho n)$$

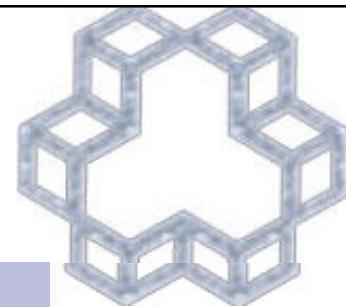
$$P_{cr} = A_c f_t (1 + \rho n)$$

1 - اولین ترک در Pcr

وقتی ضعیف ترین مقطع به مقاومت کشی بتن بر سد ترک اتفاق می افتاد. درست قبل از ترک خوردگی بتن و فولاد بطور مشترک بار را تحمل می نمایند.

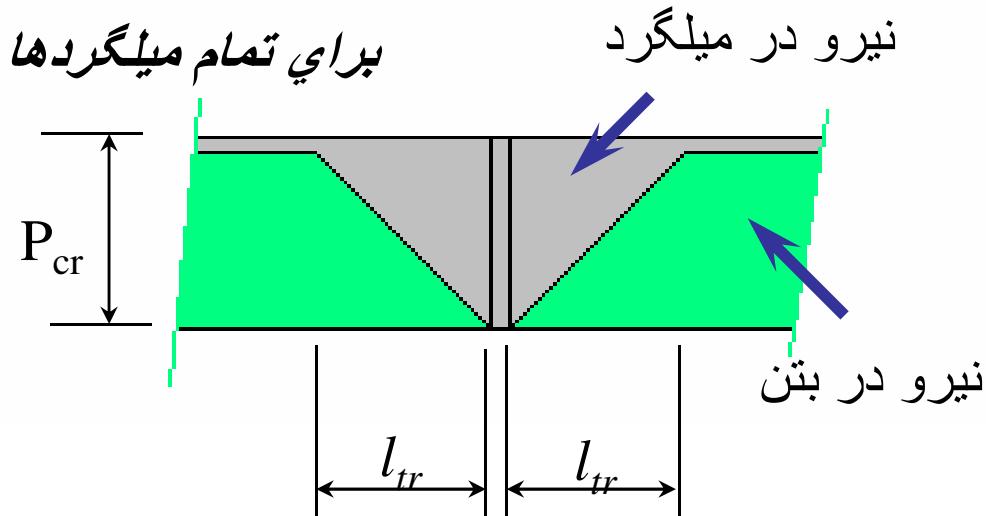
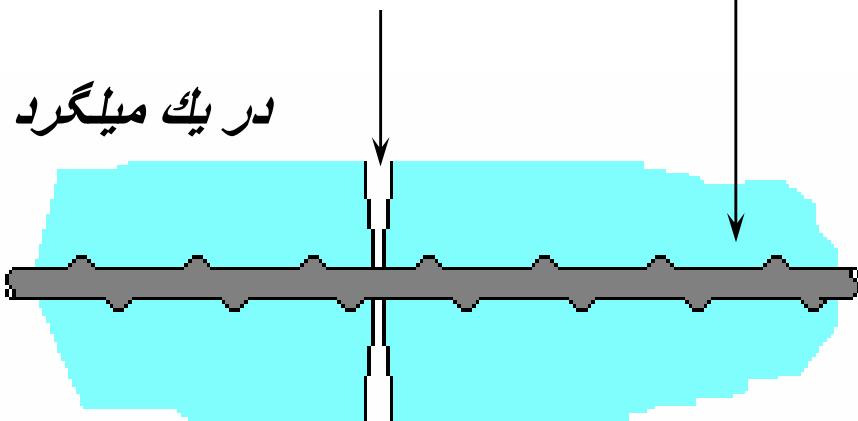


بعثت کوچک بودن ρn در محاسبات P_{cr} را معادل $A_c f_t$ در نظر می گیرند



-2- چه اتفاقی در محل ترک می افتد

در محلی دور از ترک فولاد و
ترک تحمل می کند
بنابراین با هم نیرو را تحمل می
کنند



انتقال بار از میلگرد به بتن توسط چسبندگی, u در طول l_{tr} در هر طرف ترک اتفاق می افتد:

بطور تقریب:

$$m (\pi d_b l_{tr}) u = P_{cr} = A_c f_t$$

اما:

$$A_c = A_s / \rho$$

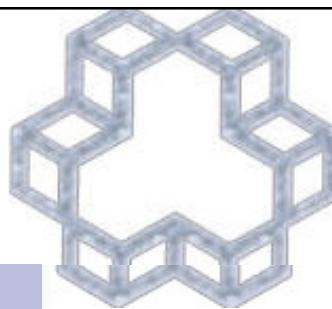
$$= (m \pi d_b^2 / 4) / \rho$$

$$\text{So } l_{tr} = (f_t / u) (d_b / (4 \rho))$$

تحقیقات نشان می دهد:
تقریباً

$$f_t / u = 0.55$$

$$l_{tr} = 0.55 d_b / (4 \rho)$$



ترکهای بعدی چگونه اتفاق می افتد

اگر A_s بسیار کوچک باشد یعنی $P_{cr} > A_s f_{sy}$ فولاد جاری شده و مقطع بسرعت می شکند. لذا:

$$A_c f_t (1 + \rho n) > A_s f_{sy} \quad \text{or} \quad \rho < f_t / (f_{sy} - n f_t)$$

لذا بطور تقریب $\rho_{crit} = f_t / f_{sy}$ و ترک بیشتری اتفاق نمی افتد و ترک فوق به باز شدن ادامه داده تا سبب شکست منشور گردد.

اگر ρ از ρ_{crit} تجاوز نماید، ترک بعدی در باری کمی بیشتر اتفاق می افتد.

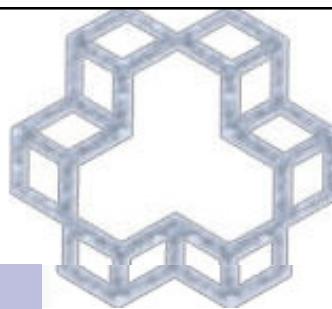
باید توجه داشت از آنجا که تنش در بتن در محدوده I_{tr} کمتر از مقاومت ترک خوردنگی است لذا ترک نمی تواند نزدیک تر از I_{tr} به اولین ترک باشد.

$$s_{min} = I_{tr} \quad \text{لذا:}$$

هرگاه طول ترک نخورده از $I_{tr} / 2$ تجاوز نماید ترکهای بعدی در باری اندکی بیشتر اتفاق می افتد. یعنی:

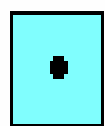
$$s_{max} = 2 I_{tr}$$

هرگاه هیچ فاصله ترکی از S_{max} تجاوز نکند گفته می شود که ترک کاملاً فرآگیر است. در این حال ترک اضافی حتی با افزایش بار اتفاق نمی افتد.



$$S_{\min} < S < S_{\max} \rightarrow S_{\text{average}} = 1.5 l_{tr}$$

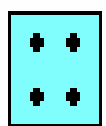
متوجه فاصله ترک چقدر است؟



150 x 150, 1φ20

$$\rho = 314 / 22500 \\ = 0.014$$

$$l_{tr} = 0.55 * 20 / (4 * 0.014) \\ = 200 \text{ mm}$$



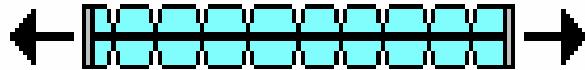
150 x 150, 4φ10

$$\rho = 314 / 22500 \\ = 0.014$$

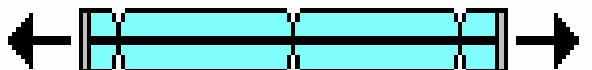
$$l_{tr} = 0.55 * 10 / (4 * 0.014) \\ = 100 \text{ mm}$$



$$s = 200 \text{ mm}$$



$$s = 100 \text{ mm}$$



$$s = 400 \text{ mm}$$



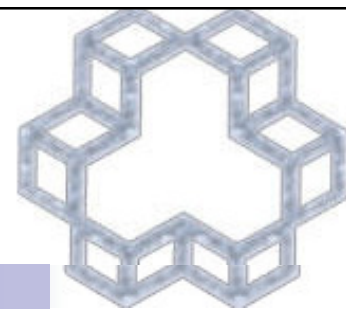
$$s = 200 \text{ mm}$$



$$200 < s < 400$$

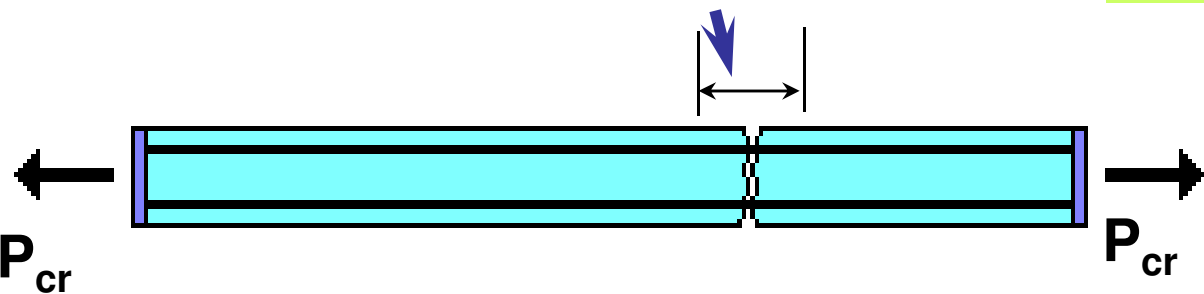


$$100 < s < 200$$



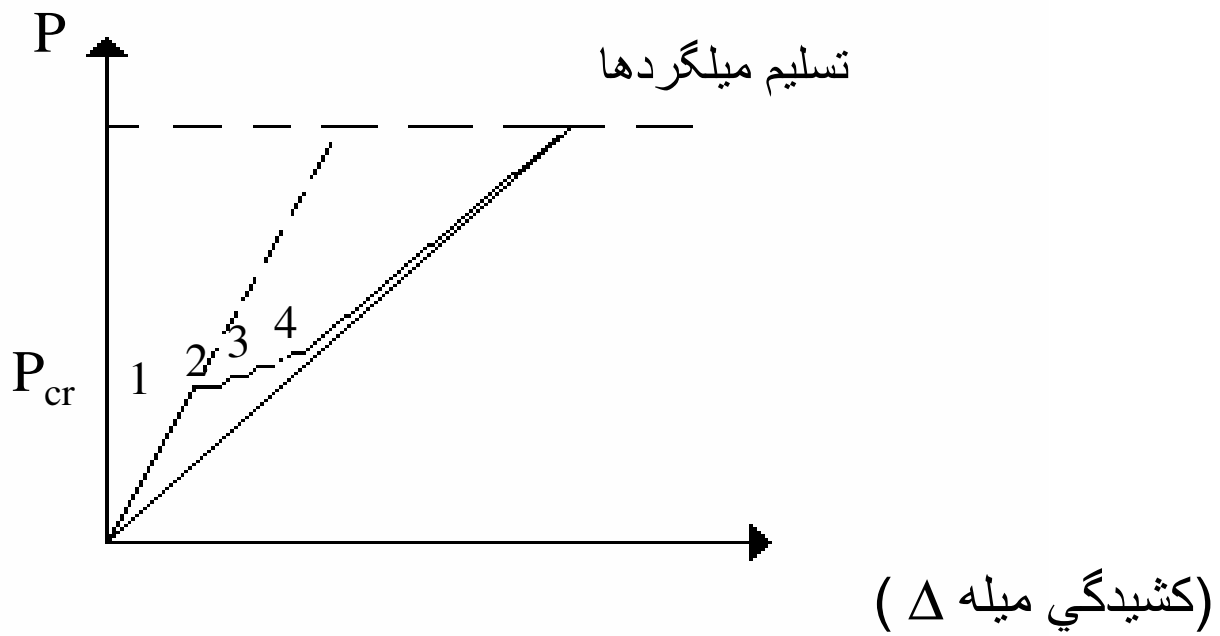
افزایش طول اضافی ناشی از کشیدگی در طول $2l_{tr}$ به وقوع می پیوندد. این افزایش همراه با افزایش بار نخواهد بود.

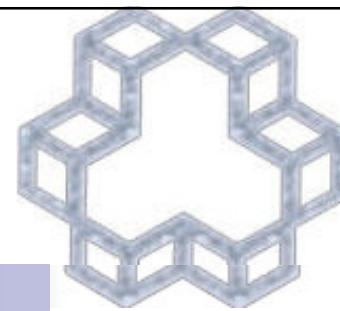
میزان افزایش طول منشور چه مقدار می باشد؟



رابطه نیرو و تغییر مکان در منشور

توجه کنید که چگونه هر ترک در افزایش طول نقش دارد



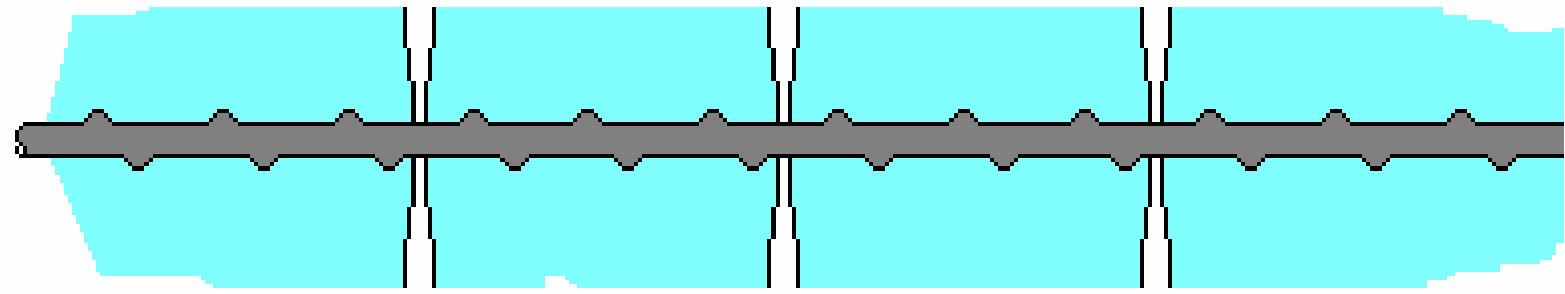


ماکریم عرض ترک چگونه حساب می شود.

فرض کنیم ترکها در ماکریم فاصله اتفاق افتاده یعنی

$$s = s_{\max} = 2 \text{ ltr} :$$

حداکثر عرض ترک

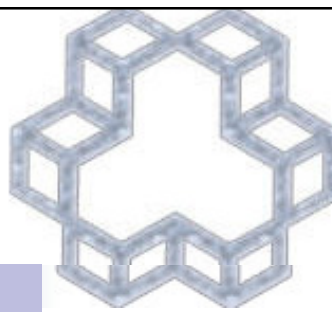


..... بر اساس کشیدگی در این طول میله محاسبه می شود

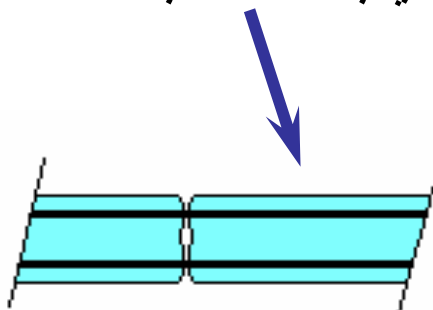
لذا:

w = عرض ترک
متوسط \times فاصله ترکها
کرنش در میلگرد

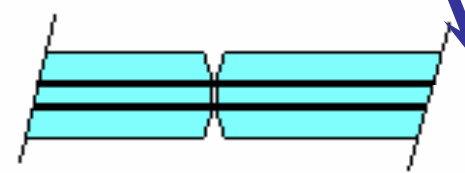
... بر اساس متوجه تنش در میلگرد از این منحنی بدست می آید.



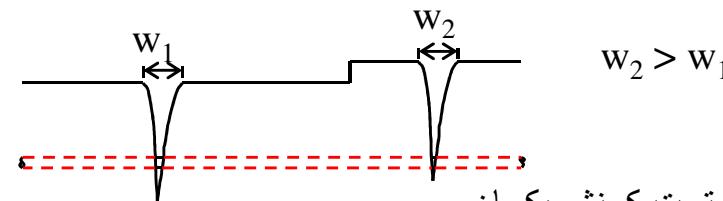
عرض ترک کمتر برای پوشش کوچکتر



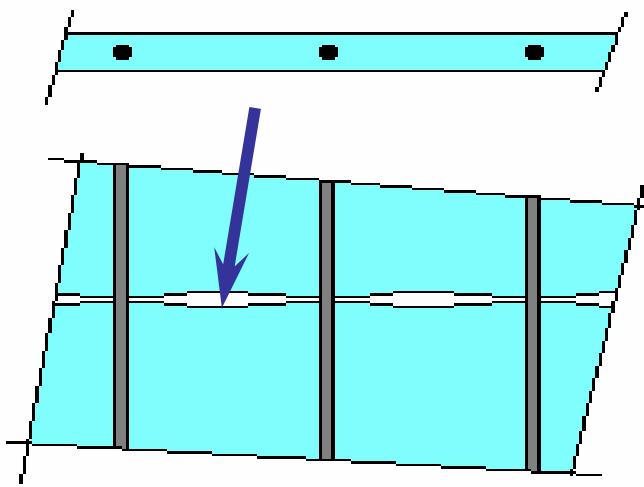
مقایسه کنید با این



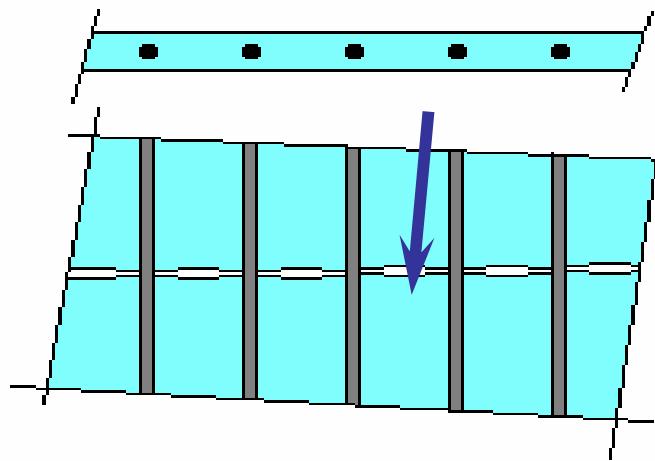
تأثیر ضخامت پوشش آرماتور



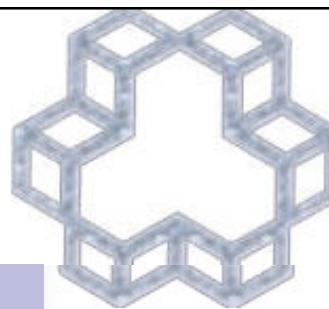
میلگرد تحت کرنش یکسان
 $\epsilon_s \rightarrow f_s$



اثر فاصله آرماتورها



هر چه فاصله آرماتورها بیشتر باشد عرض ترکها بیشتر است



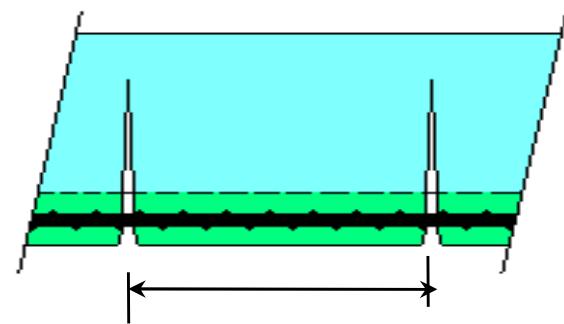
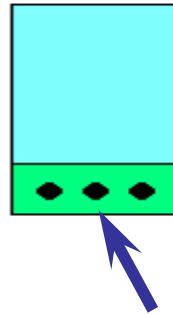
ترک خورдگی در اعضاء خمسي



آیا می توان ترک خوردگی
در اعضاء خمسي را
مشابه ترک خوردگی در یک
منشور تحت کشش دانست؟



بله! اما با چند
اصلاح و مشابه
سازی په

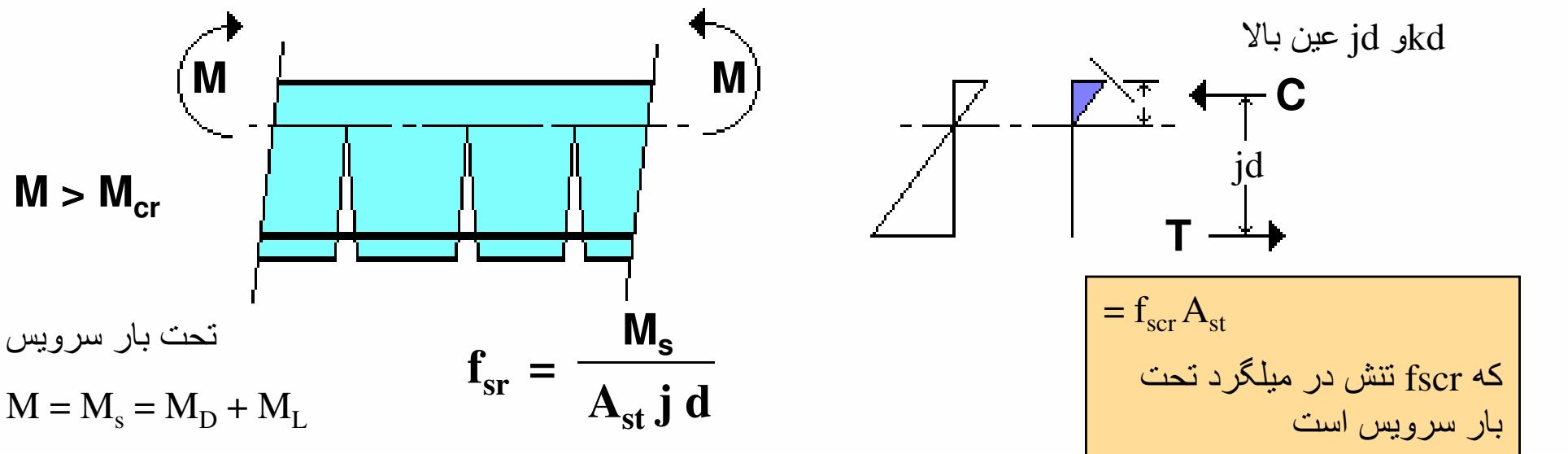
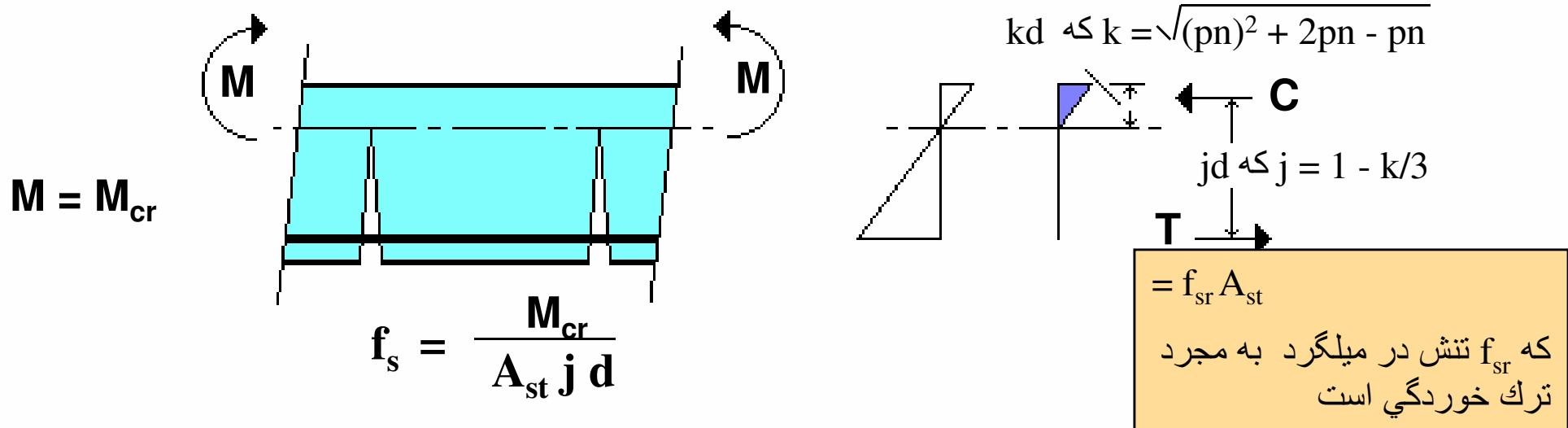
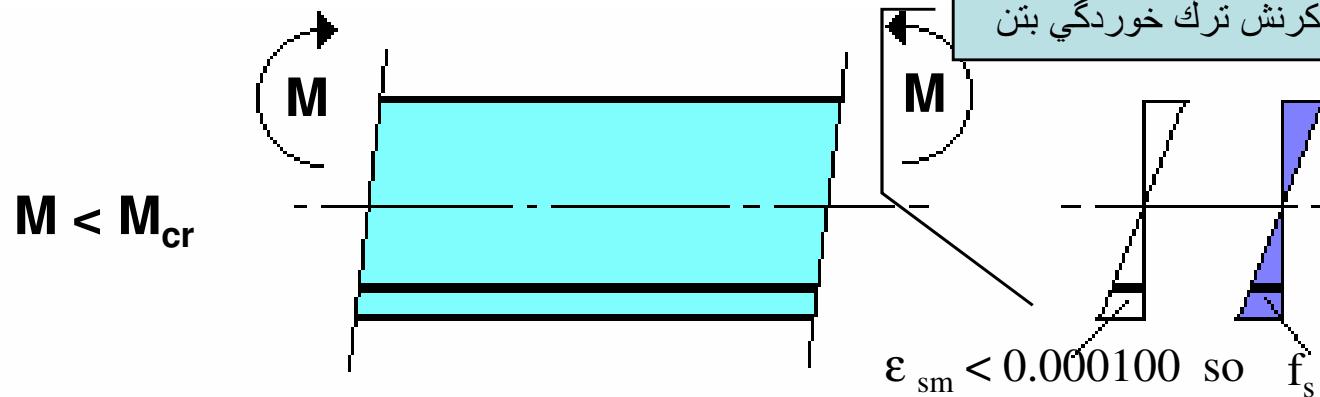


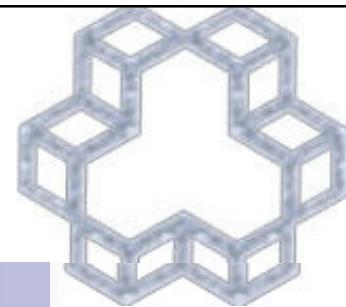
منشور کششی
می تواند بر
اساس این سطح
تخمین گردد.

ترک بستگی به
گرادیان کرنش در
قطع عرضی دارد.

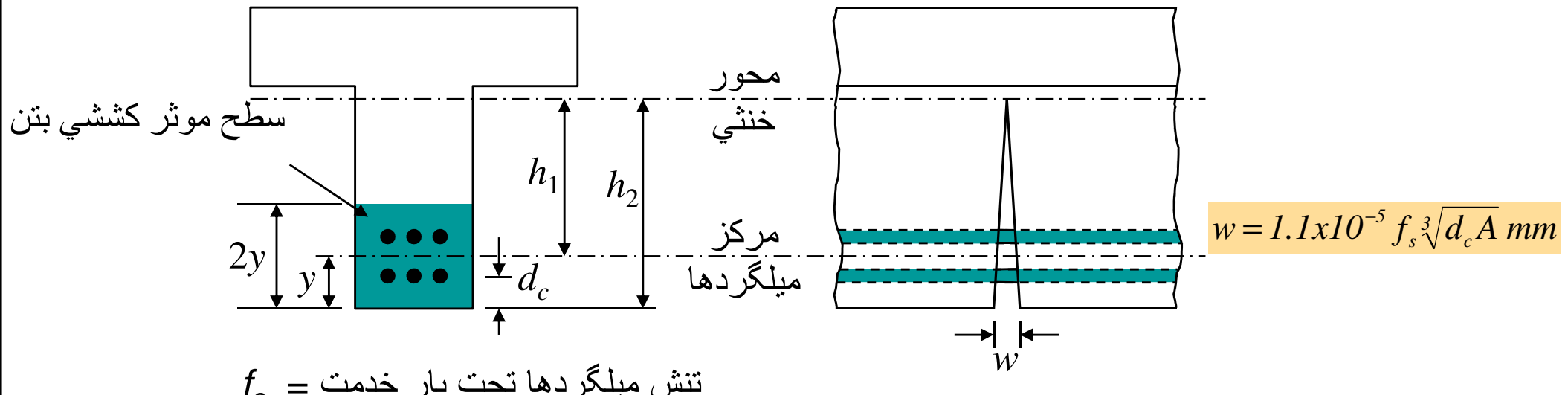


میزان تنش در میلگرد در اعضاء خمشی





معادله Gerely-Lutz برای عرض ترک برای اعضای خمشی



$$\text{تنش میلگردها تحت بار خدمت} = f_s$$

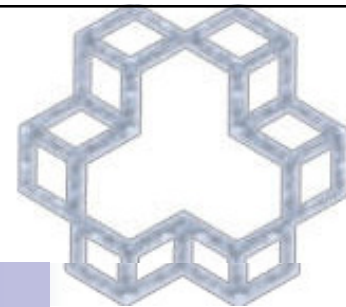
در شرایط محیطی ملائم، متوسط و شدید مقدار تنش f_s به $2/3 f_y$ و در شرایط

محیطی خیلی شدید و فوق العاده شدید مقدار این تنش به $1/2 f_y$ محدود می شود.

$$d_c, \text{ پوشش بتن تا مرکز اولین ردیف میلگرد} = \text{mm}$$

$$A, \text{ سطح بتن حول یک میلگرد} = \text{mm}^2$$

$$= \frac{\text{کل سطح موثر}}{\text{تعداد میلگردها}} = \frac{2 y b_w}{n}$$



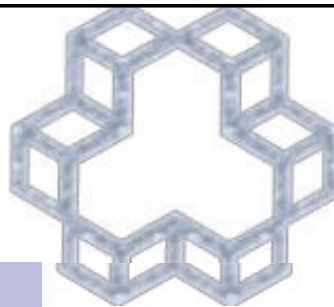
ضوابط آبا برای کنترل عرض ترک

مقدار فوق نباید از مقادیر جدول زیر بیشتر گردد.

جهت کنترل عرض ترک

از میلگردهای آجدار باید استفاده نمود.
از میلگردهای با قطرهای پایین استفاده نمود.

| حداکثر عرض ترک (mm) | شرایط رطوبتی محیط |
|---------------------|-----------------------------|
| ۰/۳۵ | ملايم يا متوسط |
| ۰/۲ | شدید |
| ۰/۱ | خيلي شديد و فوق العاده شديد |



ضوابط ACI برای کنترل عرض ترک

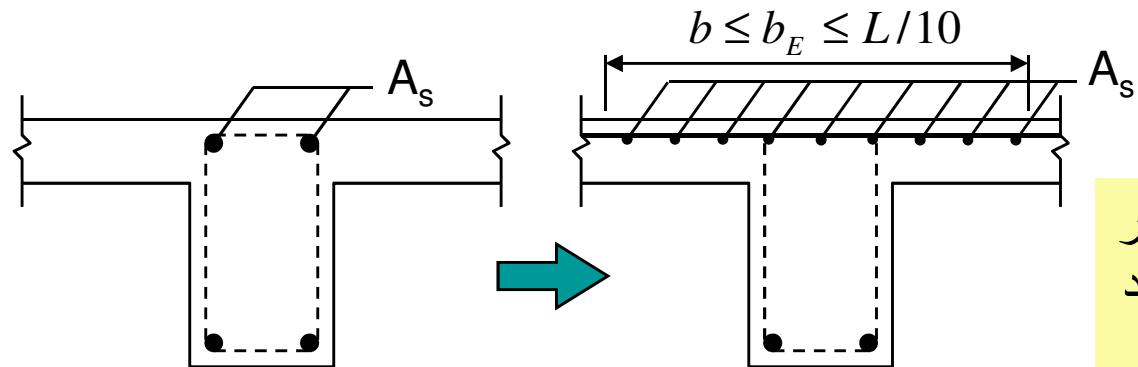
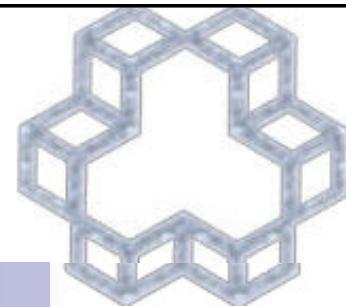
برای تیرها $\beta = 1.20$

را به شکل مقابل تعریف می کند

$$Z \rightarrow z = f_s \sqrt[3]{d_c A} = \frac{w}{c\beta}$$

تیرهای داخلی $z \leq 30000 \text{ N/mm}$ ($w \leq 0.41 \text{ mm}$)

تیرهای خارجی $z \leq 25000 \text{ N/mm}$ ($w \leq 0.34 \text{ mm}$)

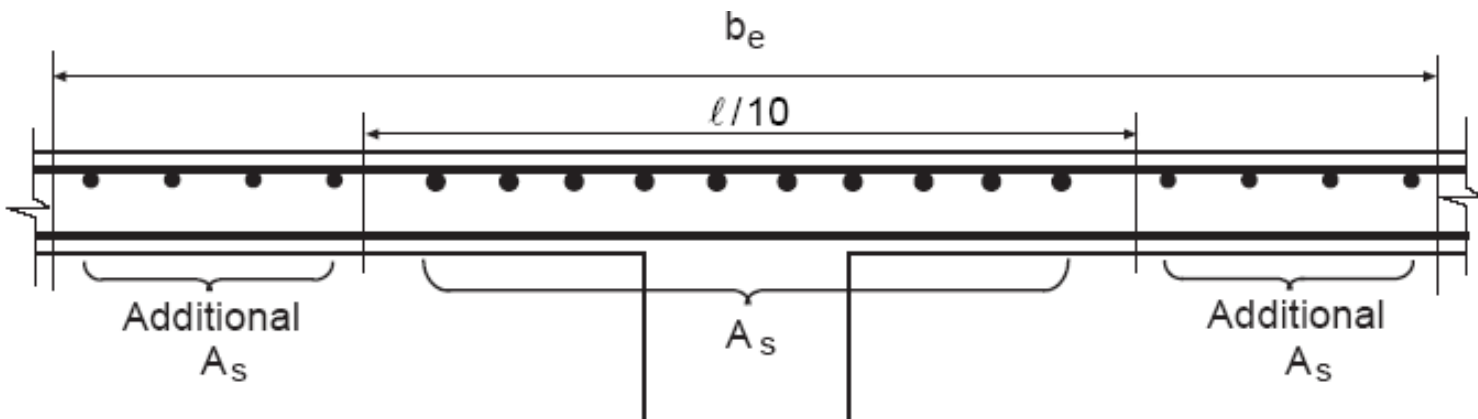


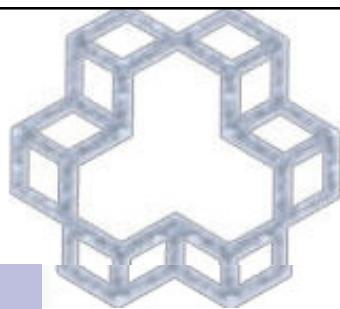
در مناطق لنگر منفی قرار دادن میلگرد در ناحیه جان سبب افزایش عرض ترک در دال مجاور می گردد.

سطح میلگرد فوق باید در عرض b توزیع گرد. چنانچه $10/L$ کمتر از b باشد، A_s در $10/L$ توزیع شده و میلگردهای اضافی به اندازه دو برابر حرارتی در حد فاصل گذاشته شود.

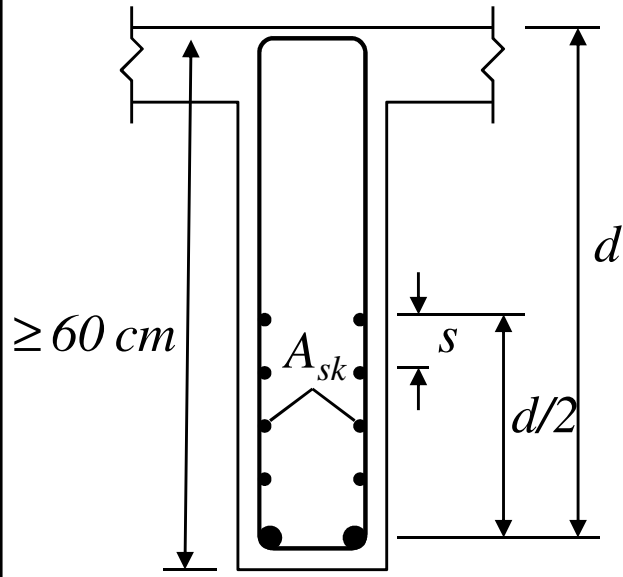
بالهای تیر شکل در کشش

در تیرهای T شکل اصلی، در پخش میلگردهای بالا در ناحیه لنگر خمشی منفی جهت کنترل ترک خوردن باید دو ملاحظه ذیل را مد نظر قرار داد. ۱-فاصله زیاد پخش میلگردها در کل عرض موثر ممکن است سبب زیاد شدن عرض ترکها در ناحیه دال گردد. ۲-فاصله نزدیک در ناحیه جان تیر سبب می گردد که ناحیه خارج از آن بدون محافظت گردد. لذا آینه نامه با قرار دادن شرط عرض $10/L$ جهت پخش میلگردها سعی نموده است تا فاصله میلگردها را تحت کنترل در آورد.





میلگردهای اضافی در گونه تیر عمیق: ($h > 600 \text{ mm}$):



۹-۱۴-۳-۱ در اعضاء خمشی عمیق، جهت کنترل عرض ترکها در جان که می‌تواند دارای عرضی بزرگتر از عرض ترکهای حاصل از خمش باشد، آین نامه مقرر می‌دارد که میلگردهای اضافی در کناره‌های عمودی بخش کششی جان قرار داده شود.

این میلگردهای اضافی در ارتفاع $d/2$ قرار داده می‌شوند. لزومی ندارد مقدار کل این آرماتورهای گونه از نصف میلگردهای کششی بیشتر باشد.

در صورت لزوم می‌توان از افزایش مقاومت خمشی ناشی از وجود این میلگردها در محاسبات استفاده نمود.

$$A_{sk} \geq d - 750 \geq 150 \text{ mm}^2 / \text{m}$$

$$A_{sk} \geq 300 \text{ mm}^2 / \text{m}$$

$$A_{sk} \geq 500 \text{ mm}^2 / \text{m}$$

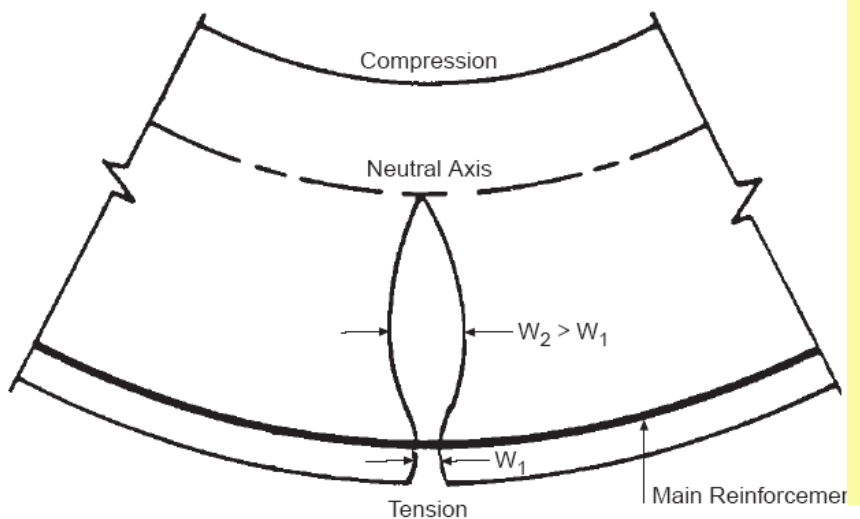
$$S_{max} \leq \frac{d}{6} \leq 300 \text{ mm}$$

در شرایط محیطی ملایم

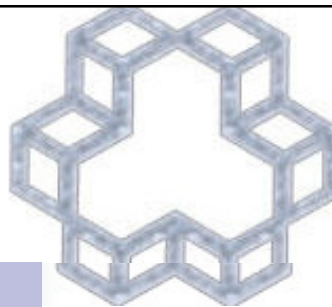
در شرایط محیطی شدید

در شرایط محیطی خیلی شدید

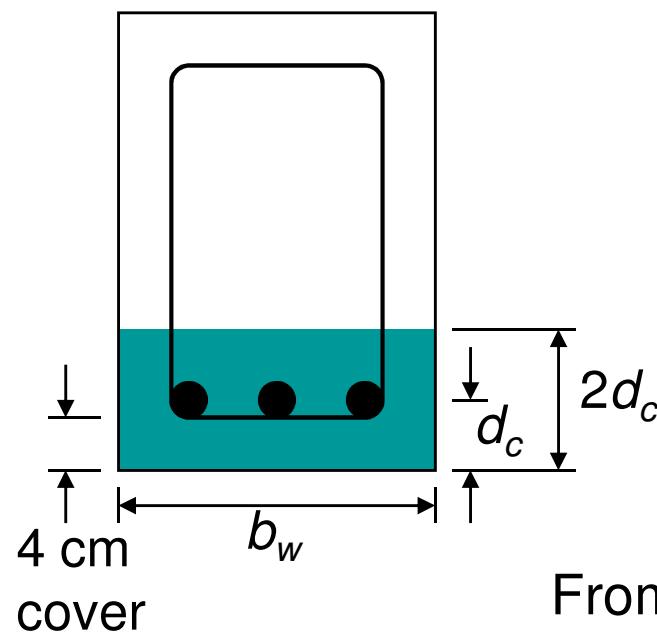
و فوق العاده شدید



A_{sk} سطح مقطع مورد نیاز در هر یک از گونه‌های طرفین تیر بر حسب میلیمتر مربع در هر متر ارتفاع می‌باشد.



حداقل تعداد میلگرد در یک لایه



$$\text{کل سطح کششی} = 2 d_c b_w$$

سطح کششی برای هر میله:

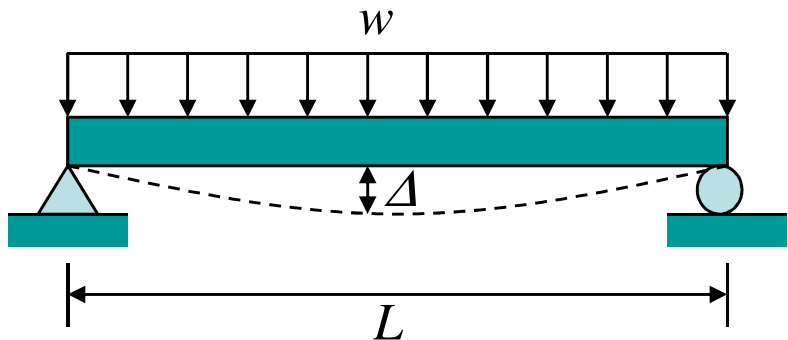
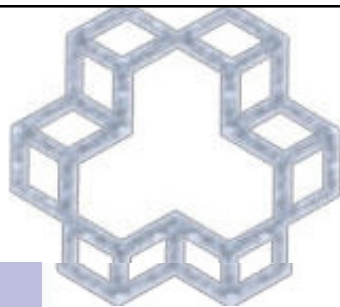
$$A = \frac{2 d_c b_w}{m}$$

تعداد میلگرد ها در یک لایه

$$\text{From } z = f_s \sqrt[3]{d_c A} \rightarrow \left(\frac{z}{f_s} \right)^3 = \frac{2 d_c^2 b_w}{m} \rightarrow m = \frac{2 d_c^2 b_w}{(z/f_s)^3}$$

$$m = \frac{2 d_c^2 b_w}{(77000 w / f_s)^3}$$

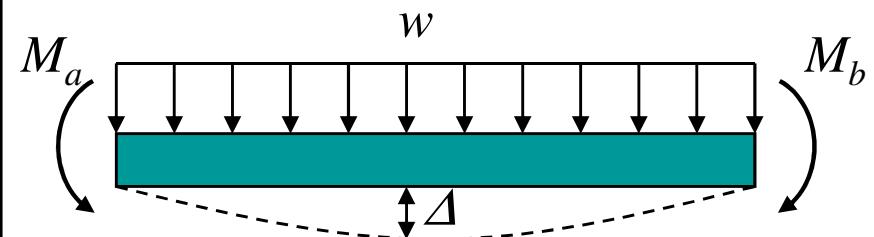
بر اساس **ABA**



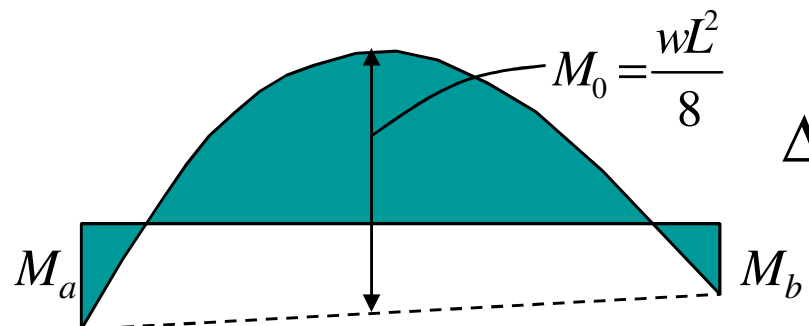
تغییر شکل الاستیک اعضای خمشی

$$\Delta = \frac{5wL^4}{384EI}$$

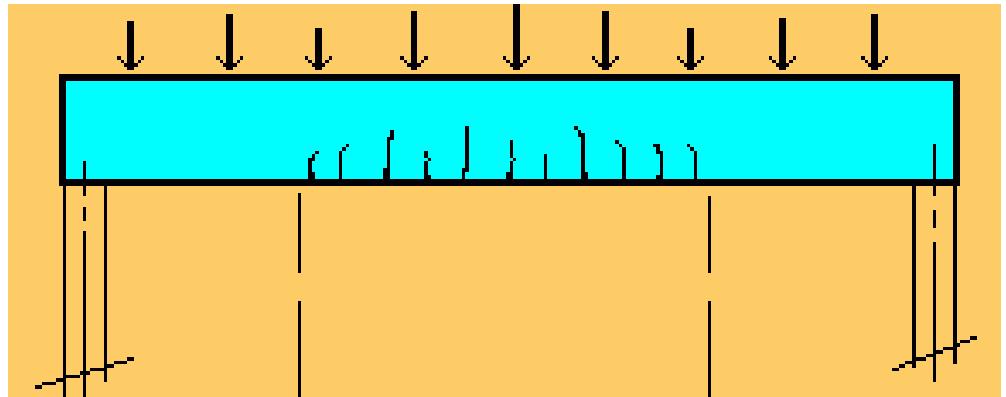
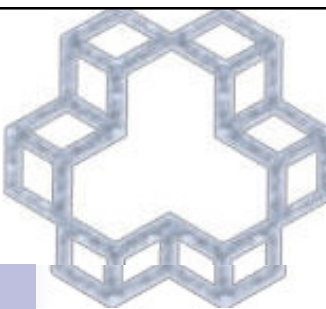
تیر ساده (حالت ایده‌آل)



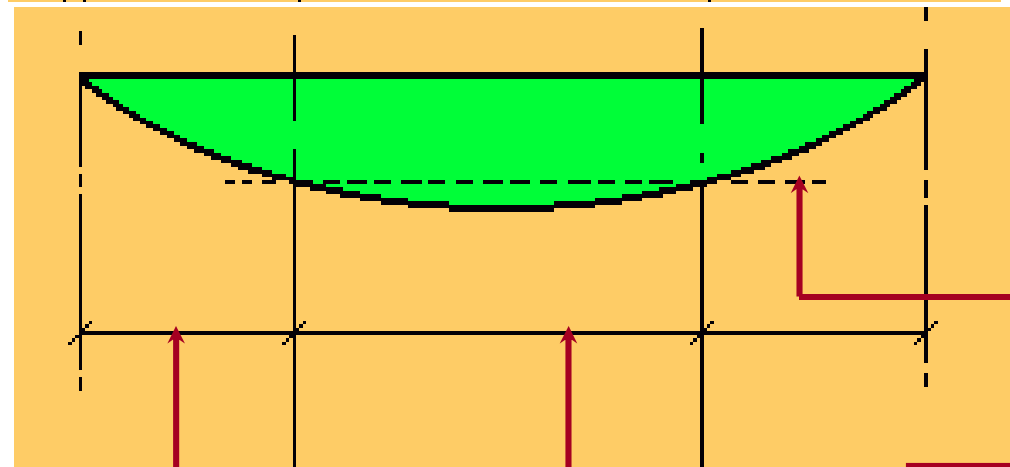
تیر سراسری با تکیه گاههای یکسره (حالت واقعی)



$$\Delta_{\max} = \frac{L^2}{48EI} [5M_0 - 3(M_a + M_b)] \Rightarrow \beta_a \frac{ML^2}{EI}$$



تغییر شکل تیر ترک خورده

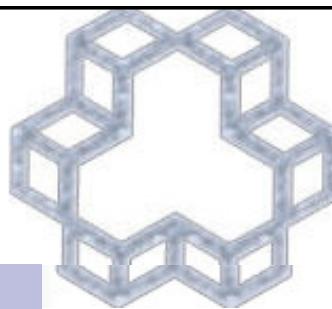


لنگر ترک خوردگی

Mcr

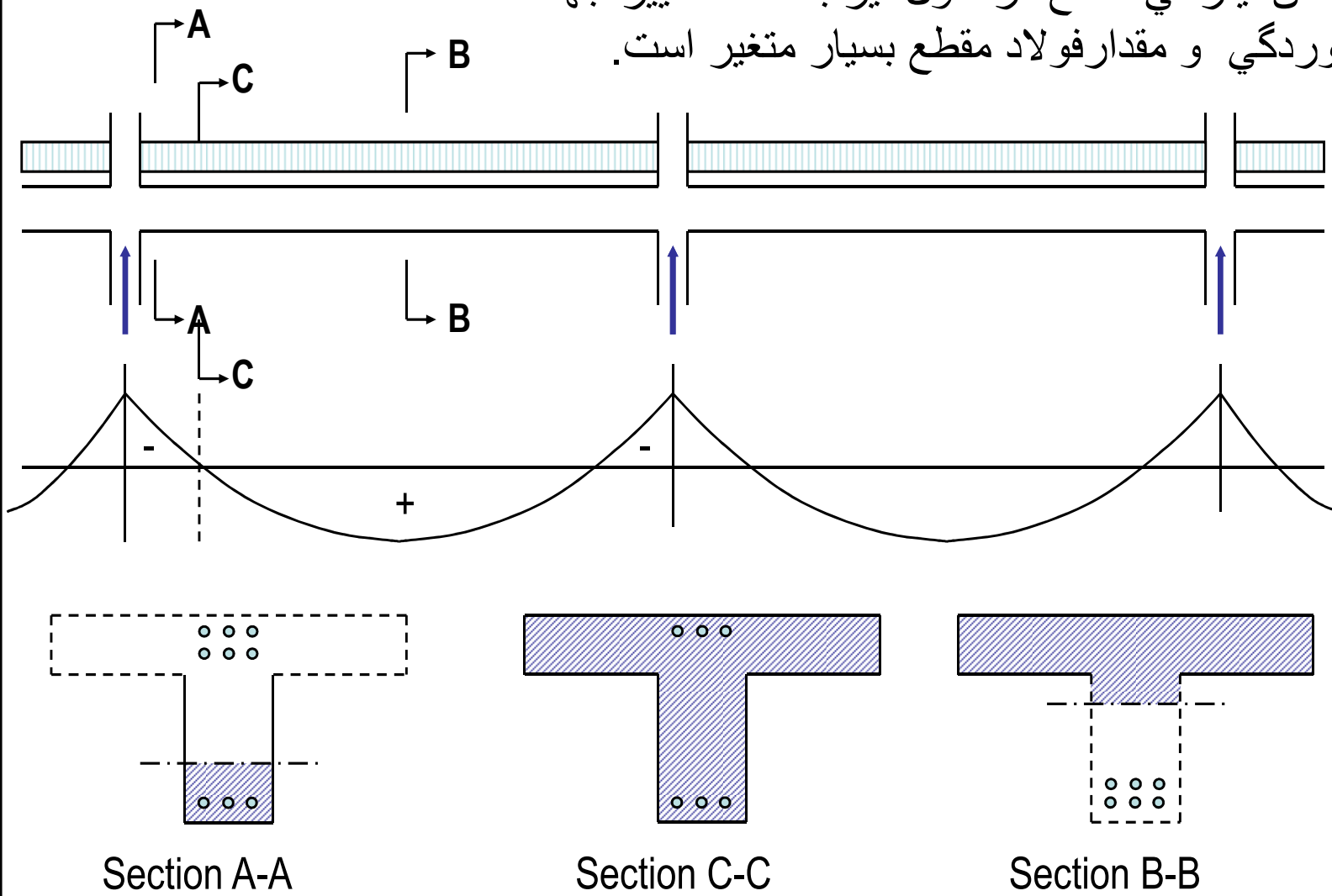
محدوده کاهش سختی به علت
ترک خوردگی

سختی کاملی در دو انتهای تیر موجود است



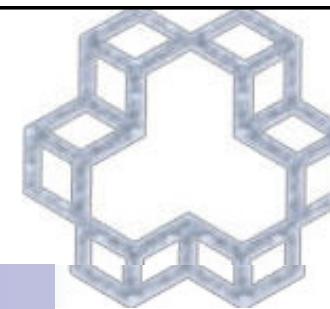
مان اینرسی موثر برای تیر پیوسته با مقطع T شکل

ملاحظه می گردد که ممان اینرسی مقطع در طول تیر به علت تغییر جهت لنگر و لذا نوع ترک خورده و مقدار فولاد مقطع بسیار متغیر است.



اگرچه در یک تحلیل ارجاعی نیروهای داخلی به مقادیر نسبی سختی بستگی دارند، ولی برای محاسبه تغییر مکان نیازمند مقدار سختیها می باشیم. در سازه های بتن آرمه سختی مقطع تابعی از میزان بار وارد می باشد. چراکه با افزون شدن لنگر خمی در مقطع از میزان مقاومت ترک خورده، مقطع از مشخصات ترک نخورده به مشخصات مقطع ترک خورده که دارای لنگر اینرسی کمتر است تبدیل می گردد. بدین جهت محاسبه تغییر مکان تیر تحت بار وارد یک فرآیند غیر خطی می باشد.

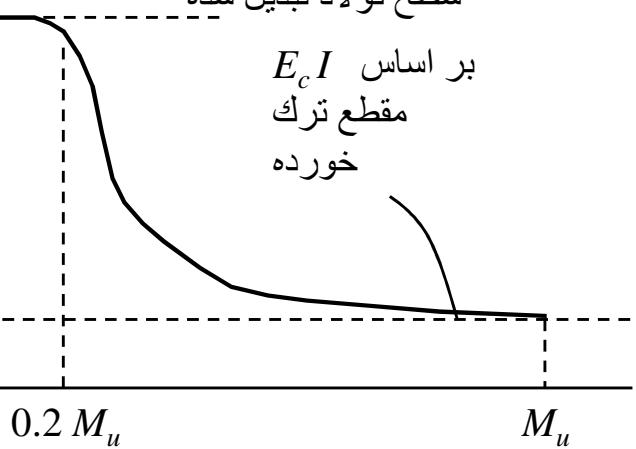
در این وضعیت مقدار جابجایی در هر مقدار افزایش جزء بار ثابت نیست. سختی خمی E_t در سطوح پایین بار بزرگتر است. (به علت ترک نخورده)، لذا مقطع کاملاً ترک نخورده، دارای بزرگترین ممان اینرسی است.



تغییر سختی خمши نسبت به لنگر خمши

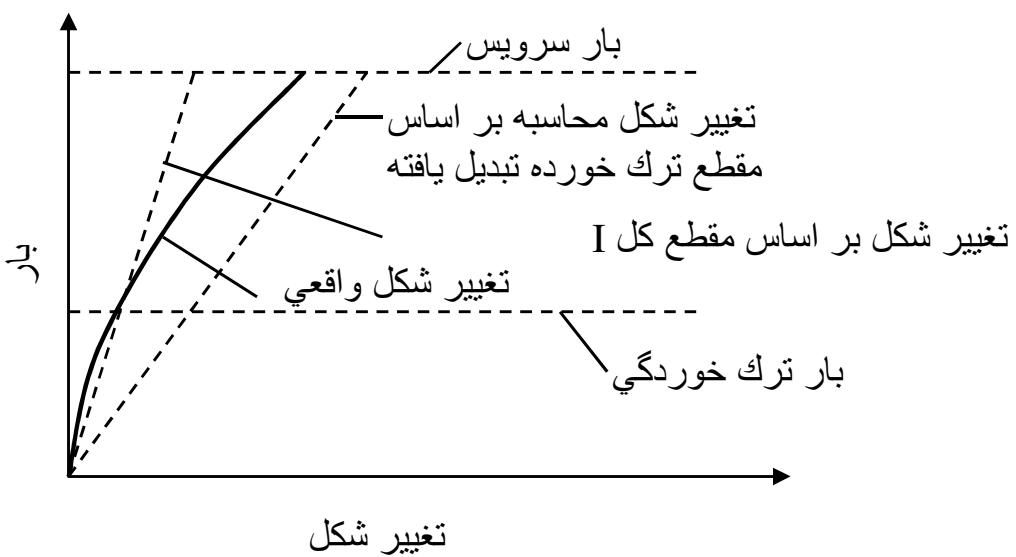
براساس مقطع کل بعلاوه $E_c I$
سطح فولاد تبدیل شده

بر اساس
 $E_c I$
قطعه تراک
خورده

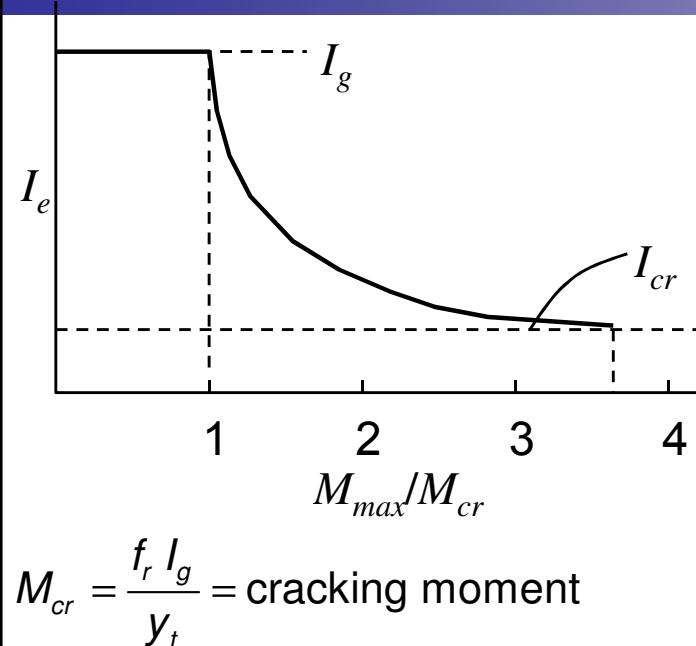
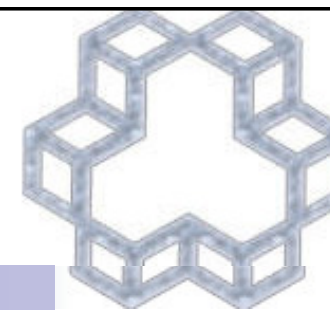


محاسبه ممان اینرسی موثر I_e یکی از زمینه هایی مورد بحث برای محاسبه تغییر مکان است. مطابق شکل مقابل سختی خمши $E_c I$ با مقدار لنگر خمши مطابق شکل مقابل تغییر می کند.

مقاطع با فولاد بیشتر تغییر کمی در سختی نسبت به مقاطع کم فولاد با افزایش لنگر وارد دارند.



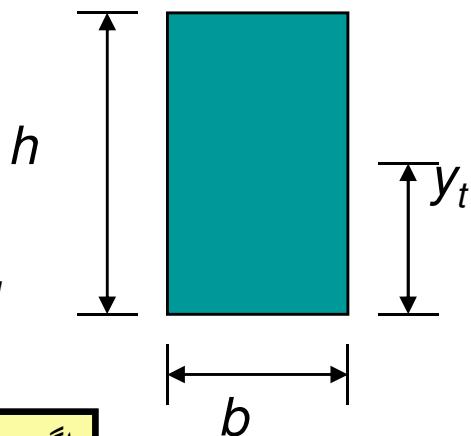
در بار کمتر از بار ترک خوردگی تغییر شکل می تواند بر اساس مقطع بتن ناخلال محسوبه شود و فقط اختلاف کوچکی بین مقطع تبدیل یافته یا نیافته وجود دارد. با افزونی بار از میزان ترک خوردگی، اگرچه بین ترکها مقطع ترک نخورده است اما ممان اینرسی به مقطع ترک خورده انتقال یافته نزدیک می شود. لذا مطابق شکل مقابل استفاده از ممان اینرسی ترک نخورده سبب محسوبه دست پایین تغییر شکل تیر و استفاده از ممان اینرسی ترک خورده تبدیل یافته سبب محسوبه دست بالای آن می شود.



بجهت انتقال پیوسته میان مقطع ترک خورده و مقطع ترک خورده Branson(1963) رابطه زیر را بر اساس لنگر حداکثر وارد پیشنهاد نمود.

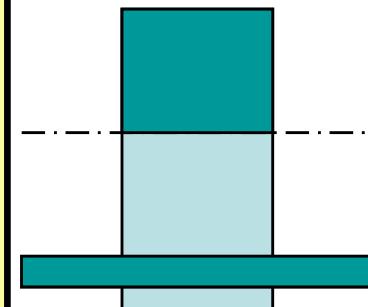
مان اینرسی موثر (I_e)

$$I_e = \left(\frac{M_{cr}}{M_{max}} \right)^3 I_g + \left[1 - \left(\frac{M_{cr}}{M_{max}} \right)^3 \right] I_{cr} \leq I_g$$



قطع ترک خورده
تبديل نيافته

اگرچه مقدار فوق در محل حداکثر لنگر محاسبه می شود ولی از مقدار فوق برای کل یک تیر دو سر مفصل و یا بین دو نقطه عطف در تیر یکسره استفاده می گردد. اگر بخواهیم تغییر پیوسته مقدار لنگر اینرسی را در طول تیر در نظر بگیریم، Branson پیشنهاد نموده است که از قوه چهار معادله فوق استفاده نموده و مقدار M_{cr} و M_{max} را برای قطعات فرضی تیر محاسبه نماییم. با استفاده از یک انتگرال عددی می توان برای تیر با مان اینرسی موثر متغیر میزان تغییر شکل را محاسبه نمود، اگرچه استفاده از یک مقدار برای کل تیر می تواند سبب سادگی محاسبات گردد.



قطع ترک خورده

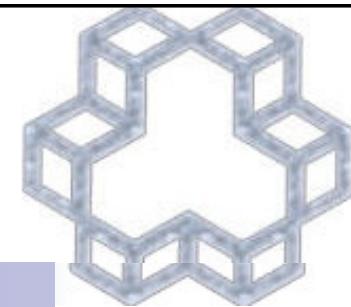
ماکریم لنگر بار سرویس = M_{max}

$$I_g = bh^3/12$$

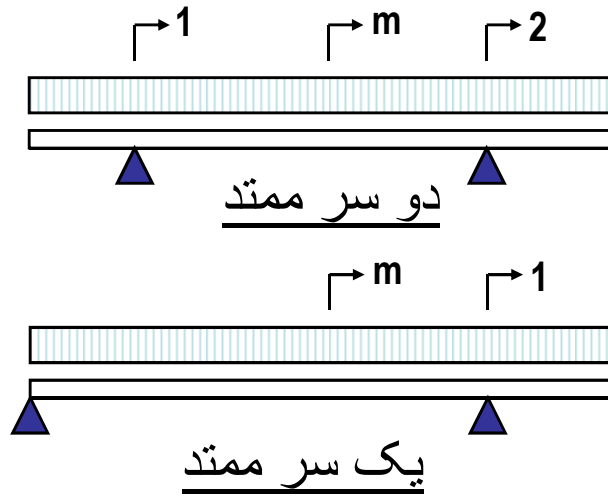
مان اینرسی مقطع ترک خورده تبدیل یافته = I_{cr}

$$f_r = 0.63\sqrt{f'_c}$$

فاصله تار خارجی کششی تا محور خنثی کل مقطع بتی = y_t



مقدار ممان اینرسی موثر واحد



بسته به آنکه لنگر خمی مقطع چه مقدار سبب ترک خوردگی گردد، میزان ا در طول تیر متغیر است. سه روش برای تقریب ممان اینرسی موثر در طول تیر توسط آیین نامه ها پیشنهاد شده است.

1- مقدار وسط دهانه : برای تیر دو سر ساده یا ممتد و مقدار تکیه گاهی برای تیر طره (این مقدار برای محاسبات ابتدایی مناسب می باشد).
 $I_e = I_m$

$$I_e = 0.70 I_m + 0.15(I_{e1} + I_{e2})$$

هر دو انتهای پیوسته :

$$I_e = 0.85 I_m + 0.15 I_{e1}$$

یک انتهای پیوسته :

$$I_e = 0.50 I_m + 0.25(I_{e1} + I_{e2})$$

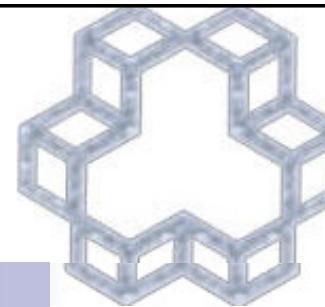
هر دو انتهای پیوسته :

$$I_e = 0.75 I_m + 0.25 I_{e1}$$

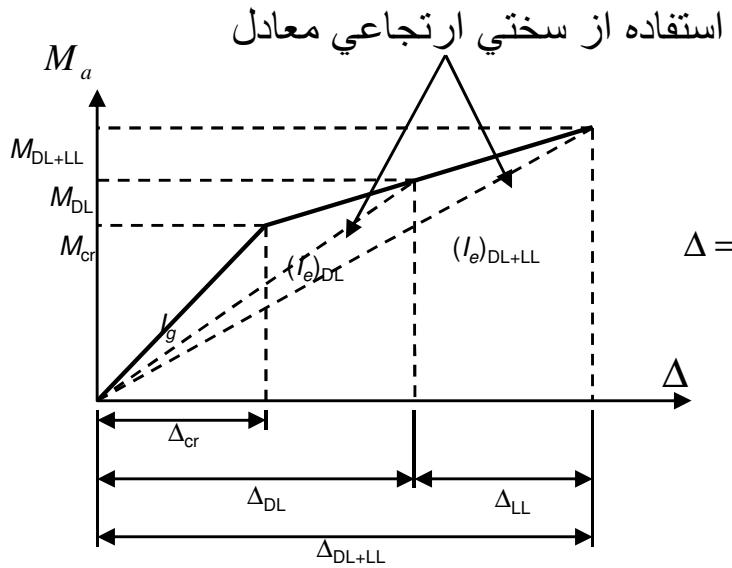
یک انتهای پیوسته :

3-متوسط ساده

نکته: برای یک تیر پیوسته با بار گسترده استفاده از روش متوسط وزنی نسبت به مقدار وسط دهانه دارای دقیق‌تری می باشد در حالیکه برای تیر تحت بار مرکز سنگین در وسط دهانه بر عکس می باشد

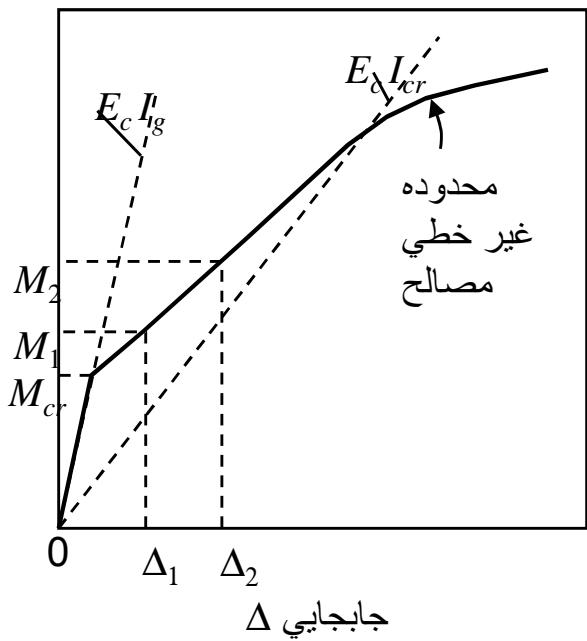


تغییر شکل‌های کوتاه مدت بار مرده و زنده



$$\Delta = \beta_a \left(\frac{ML^2}{E_c I_e} \right)$$

تغییر شکل کوتاه مدت اعضاء بتن آرمه می‌تواند بر اساس ممان اینرسی موثر مقطع مطابق فرمول کلی مقابله محاسبه شود. ممان اینرسی مقطع فوق بر اساس میزان لنگر وارد و مقادیر ممان اینرسی مقطع ترک خورده انتقال یافته و مقطع ناچالص ترک نخورده تخمین می‌گردد. β_a ضریبی است که بستگی به نوع بار و شرایط مرزی دارد.



تغییر شکل تیر بتن آرمه تحت بار یک پدیده غیر خطی است که برای آنکه بتوان از روش‌های خطی برای محاسبه استفاده نمود. با توجه به آنکه در هر مرحله از بارگذاری ممان اینرسی به میزان بار وارد بستگی دارد باید مطابق شکل مقابله نسبت به محاسبه آن در هر سطح بار مطابق مطالب قبل اقدام شده و سپس بر اساس مقدار فوق که سختی کج متناظر به تغییر شکل ارجاعی است از روابط ارجاعی بهره گرفت. واضح است که برای محاسبه میزان تغییر مکان بار زنده از آنجاکه این بار نمی‌تواند بدون وجود بار مرده اعمال گردد، ابتدا تغییر مکان مجموعه حساب شده و سپس مقدار فوق از میزان بار مرده به تنهایی کم می‌شود.

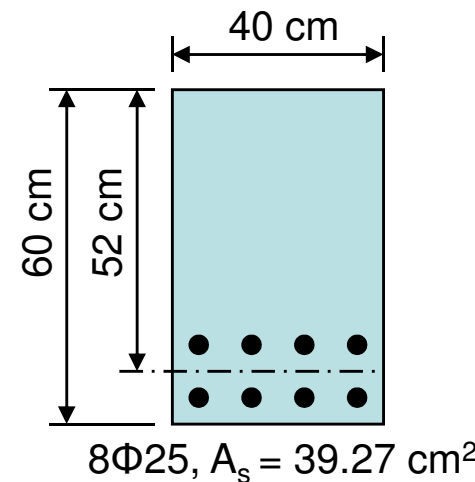
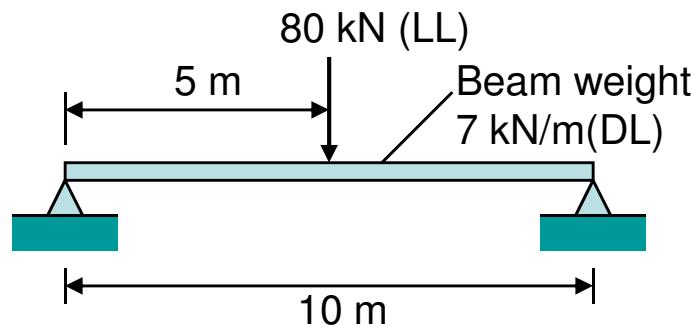
جابجایی بار مرده : $\Delta_{DL} = \beta_a \frac{ML^2}{E_c (I_e)_{DL}}$

جابجایی بار مرده و زنده : $\Delta_{DL+LL} = \beta_a \frac{ML^2}{E_c (I_e)_{DL+LL}}$

جابجایی بار زنده : $\Delta_{LL} = \Delta_{DL+LL} - \Delta_{DL}$

مثال 1: جابجایی آنی تیر دو سر ساده به طول 10 متر را در شکل زیر تحت بار زنده اعمالی محاسبه کنید.

$$f'c=28, \quad fy=400 \text{ MPa}$$



حداقل عمق بر اساس ACI

$$L/16 = 10(100)/16 = 62.5 \text{ cm} > 60 \text{ cm} \quad \text{NG}$$

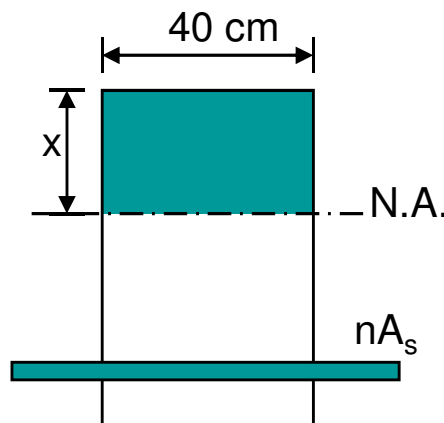
$$I_g = \frac{(40)(60)^3}{12} = 7.2e5 \text{ cm}^4$$

$$M_{\max} = \frac{(7)(10)^2}{8} = 87.5 \text{ kN-m}$$

افتادگی باید کنترل شود.

الف) افتادگی ناشی از بار مرده

برای مقطع انتقال یافته



$$f'c = 28 \text{ MPa}$$

$$E_c = 5000\sqrt{f'c} = 26458 \text{ MPa}$$

$$n = \frac{E_s}{E_c} = \frac{2 \times 10^5}{26458} \approx 8$$

محاسبه محل تار خنثی:

$$[\sum M_{N-A} = 0] \quad 40 \frac{x^2}{2} = 8(39.27)(52 - x)$$

$$x^2 + 15.71x - 816.82 = 0$$

$$x = 21.8 \text{ cm}$$

$$I_{cr} = I_{concrete} + I_{steel} = \frac{1}{3} (40) (21.8)^3 + 8(39.27)(52 - 21.8)^2$$

$$I_{cr} = 424,663 \text{ cm}^4$$

$$f_r = 0.63\sqrt{28} = 3.33 \text{ MPa}$$

$$M_{cr} = \frac{f_r I_g}{y_t} = \frac{3.33 \times 7.2e9}{300} = 79.92 \text{ kN} \cdot \text{m}$$

$$\frac{M_{cr}}{M_{max}} = \frac{79.92}{87.5} = 0.91 \quad , \quad \left(\frac{M_{cr}}{M_{max}} \right)^3 = 0.76$$

$$I_e = \left(\frac{M_{cr}}{M_{max}} \right)^3 I_g + \left[1 - \left(\frac{M_{cr}}{M_{max}} \right)^3 \right] I_{cr} \leq I_g$$

مان اینرسی موثر:

$$I_e = 0.76(720,000) + 0.24(424,663) = 649,119 \text{ cm}^4$$

افتادگی ناشی از بار مرده:

$$\Delta_{DL} = \frac{5wL^4}{384E_c I_e} = \frac{5 \times 7 \times (10000)^4}{384 \times 26458 \times 649119e4} = 5.3 \text{ mm}$$

ب) افتادگی ناشی از بار مرده و زنده

$$M_{\max} = 87.5 + 80(10)/4 = 287.5 \text{ kN-m}$$

$$\frac{M_{\text{cr}}}{M_{\max}} = \frac{79.92}{287.5} = 0.28 , \left(\frac{M_{\text{cr}}}{M_{\max}} \right)^3 = 0.022$$

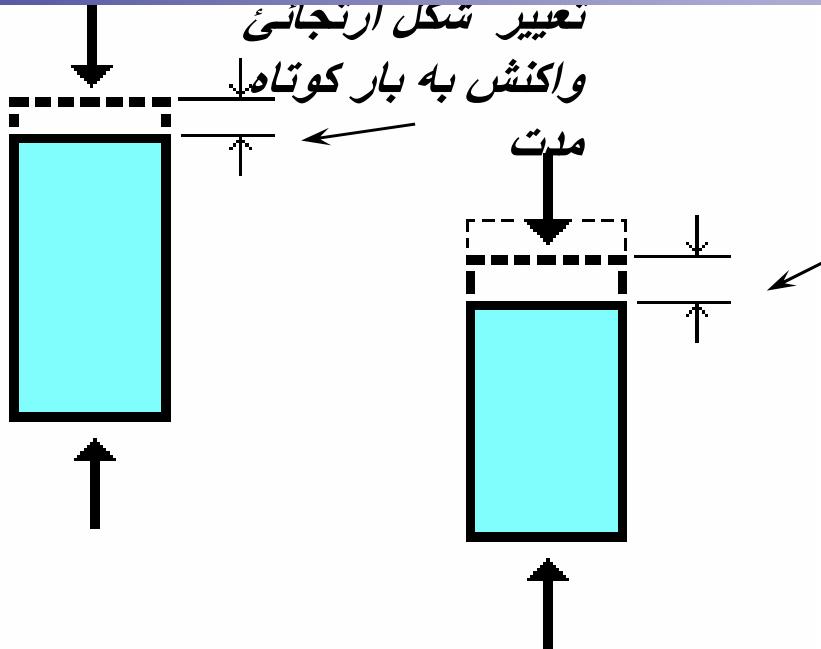
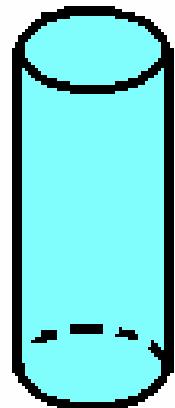
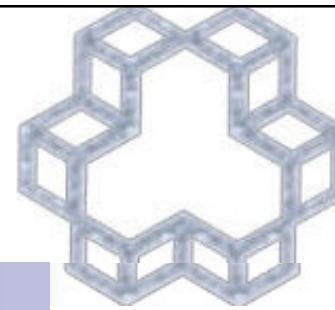
$$I_e = 0.022(720,000) + 0.978(424,663) = 431,160 \text{ cm}^4$$

$$\begin{aligned} \Delta_{DL+LL} &= \frac{5wL^4}{384E_c I_e} + \frac{PL^3}{48E_c I_e} = \frac{5x7x(10000)^4}{384x26458x431160e4} + \frac{80000x(10000)^3}{48x26458x431160e4} \\ &= 8.0 + 14.6 = 22.6 \text{ mm} \end{aligned}$$

ج) جابجایی ناشی از بار زنده:

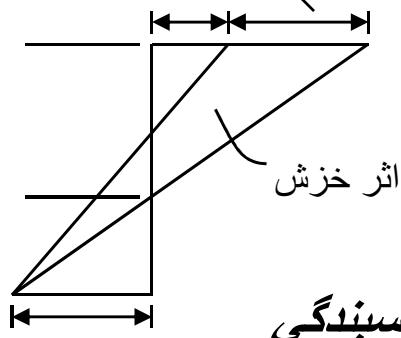
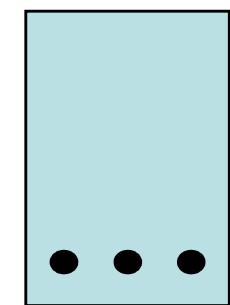
$$\Delta_{LL} = \Delta_{DL+LL} - \Delta_{DL} = 22.6 - 5.3 = 17.3 \text{ mm}$$

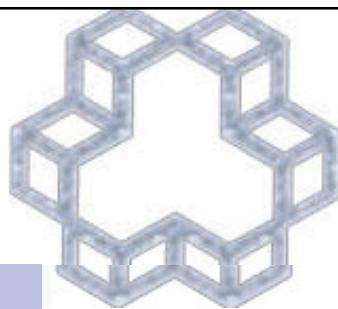
مجاز $\Delta_{LL} = \frac{L}{360} = \frac{10000}{360} = 27.8 \text{ mm} > 17.3 \text{ mm Ok}$



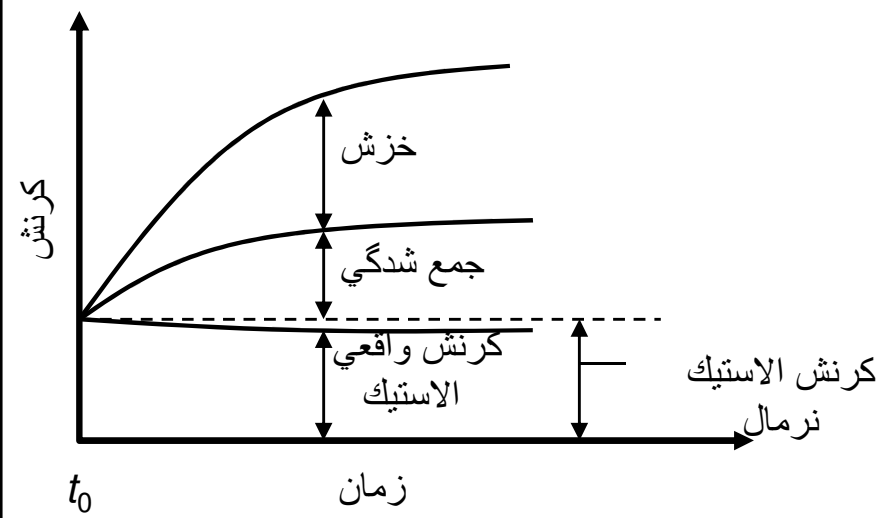
تاثیر خراش

چگونه اثر فوق باعث تغییر شکل تیر می شود



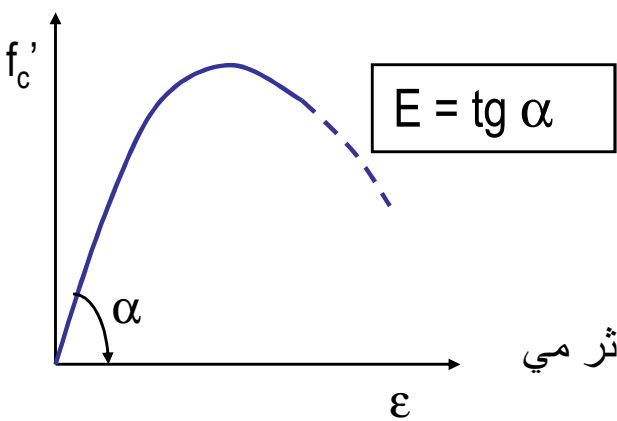


تغییر شکل‌های طولانی مدت خزش



چنانچه در فصل اول دیدیم خزش تغییر شکل در طول زمان تحت بارداراز مدت در محدوده ارتجاعی ($0.5f'_c$ C) می باشد. عوامل موثر بر میزان خزش عبارتند از::

- 1-جزاء تشکیل دهنده (نرمی سیمان، اب به سیمان، ...)
- 2-دما و رطوبت در حین به عمل آمدن
- 3-اندازه اعضاي بتني
- 4-زمان و مدت بارگذاري
- 5-مقدار تنفس
- 6-نسبت سطح به حجم
- 7-اسلامپ

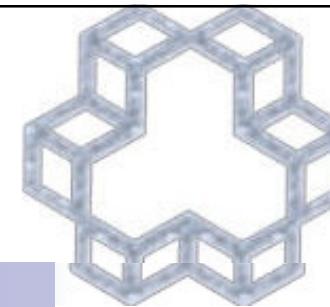


مدول ارتجائي

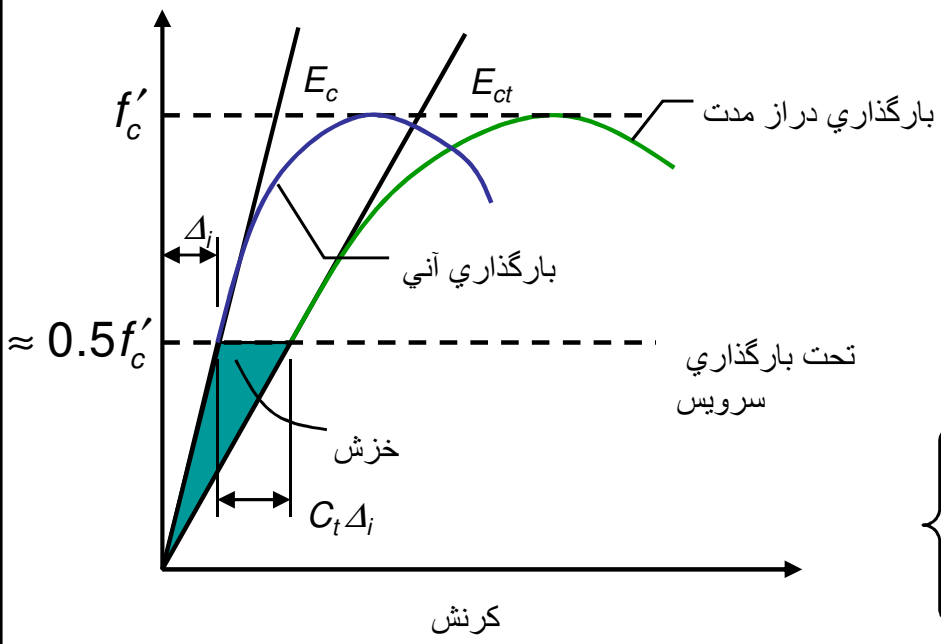
برای مواد همگن مدول ارتجائي E در کشش و فشار یکسان است در بتن مسلح خزش سبب تغییر E در قسمت فشاری می شود و ترک نیز بر E در قسمت کشش اثر می گذارد

در قسمت کششی و فشاری، نتتها E با تغییر تنفس در مقطع تغییر می نماید بلکه در طول دهن نیز دارای تغییر است.

علاوه، خزش و جمع شدگی در طول گذر زمان سبب کاهش E می شود که خود باعث افزایش تغییر شکل با ضریبی حدود 2 تا 3 می شود.



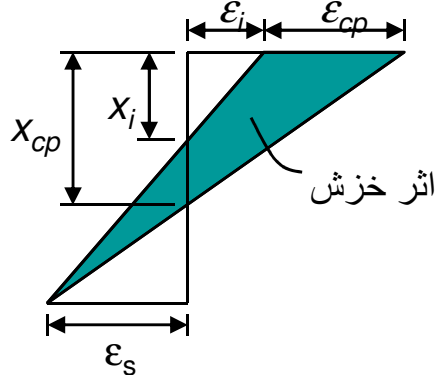
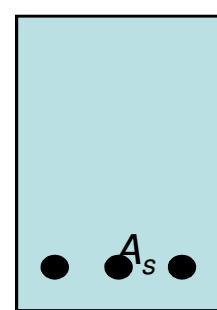
تأثیر خزش بر تغییر شکل تحت بار دراز مدت



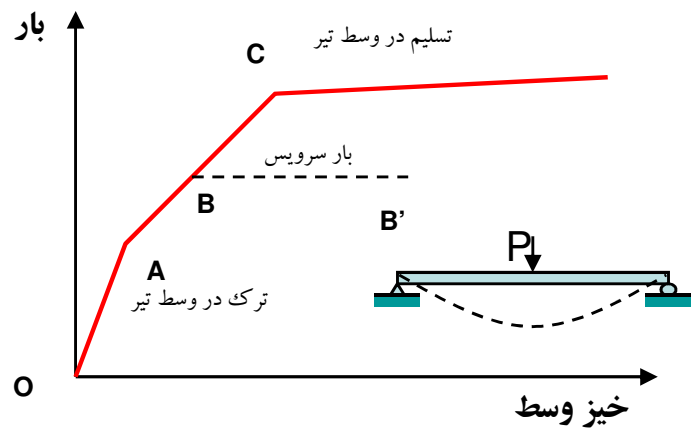
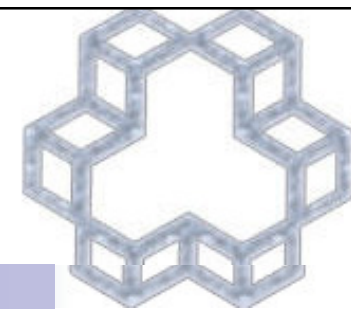
یکی از راههای به حساب آوردن خزش، مطابق شکل مقابله کاهش مدول ارتجاعی است و یا اعمال ضریب C_t بر تعییر مکان ارتجاعی Δ_i است

$$\left\{ \begin{array}{l} \text{کرنش و} \\ \text{تعییر شکل} \\ \text{پلاستیک حاصل} \\ \text{از خزش} \end{array} \right\} \quad \left\{ \begin{array}{l} \mathcal{E}_{cp} = C_t \mathcal{E}_i \\ \Delta_{cp} = C_t (\Delta_i)_{DL} \end{array} \right\} \quad \left\{ \begin{array}{l} \text{کرنش و} \\ \text{تعییر شکل} \\ \text{الاستیک} \end{array} \right\}$$

به جهت فهم اثر خزش بر تغییر شکل تیر، تعییر انحنای تیر در اثر خزش در ناحیه فشاری بتن مقطع تک فولاده مقابله قابل ملاحظه است. بتن سهم کمی در تحمل تنفس در ناحیه کششی در اثر ترک داشته و میزان خزش در فولاد نیز ناچیز است. تار خنثی به سمت پایین حرکت کرده و سطح بیشتری از بتن تحت فشار قرار می گیرد. با توجه به منحنی تنفس - کرنش اصلاح شده در بالا در محدوده زیر تنفس $0.5 f'_c$ میزان تنفسها کاهش یافته و با توجه به ثابت بودن تنفس در فولاد کششی باید میزان برآیند تنفسها فشاری در بتن ثابت باشد. میزان افزایش انحنای از میزان افزایش کرنشها کمتر است.



ضریب C_t که نسبت کرنش حاصل از خزش به کرنش ارتجاعی در زمان t بعد از عمل آوری اولیه می باشد، بر اساس ضریب خزش نهایی C_U که دارای مقدار $35/2$ برای رطوبت 40% است، محاسبه می گردد.



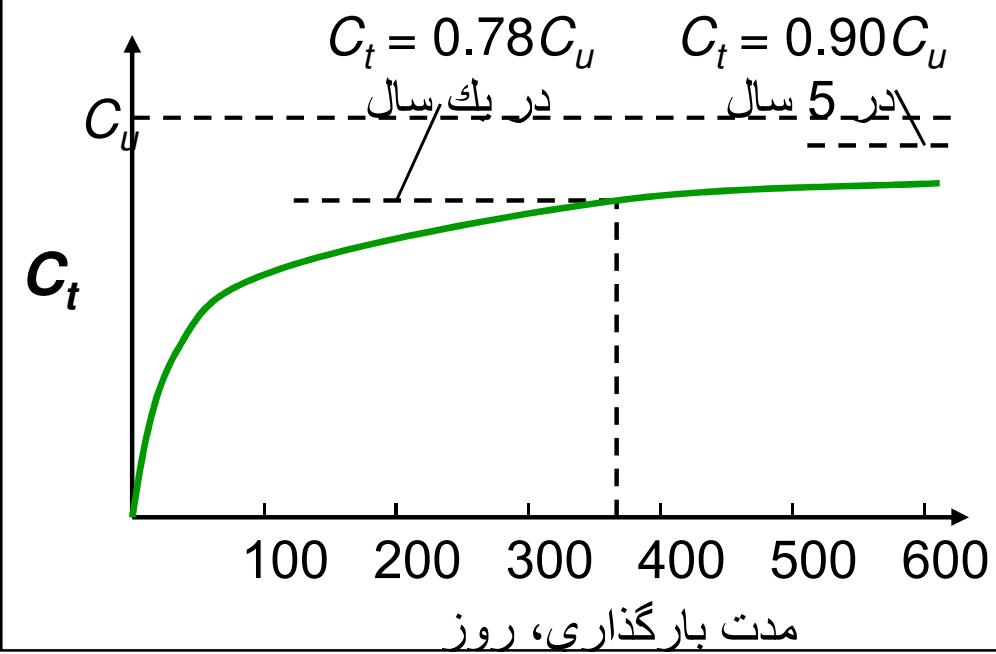
تأثیر خزش بر تغییر شکل تحت بار دراز مدت

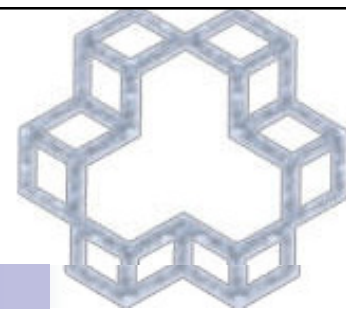
نمودار بار خیز تیر دو سر مفصل در شکل مقابل نشان داده شده است. ملاحظه می‌گردد چنانچه سطح بار سرویس در حد نقطه B نشان داده شده باشد. در اثر خزش با ثابت ماندن بار خیز افزایش می‌یابد.

- شرایطی که بر اساس آن معادلات ACI معتبر است
 - 1- رطوبت نسبی 40-1%
 - 2- اسلامپ کمتر از 10 سانتیمتر
 - 3- عمر بارگذاری 7 روز (عمل آوری در رطوبت)
 - 4- عمر بارگذاری 1-3 روز (عمل آوری در بخار)
 - 5- ضخامت بتن 15 سانتیمتر

برای شرایط دیگر باید ضرایب تصحیح بکار برد.

$$C_t = \left(\frac{t^{0.6}}{10 + t^{0.6}} \right) C_u$$



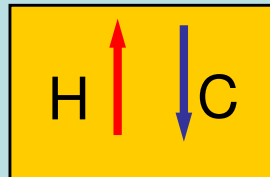


ضرایب تصحیح خرس

2) رطوبت برای %40

$$(CF)_h = 1.27 - 0.0067H$$

رطوبت نسبی بر حسب %



1) عمر بارگذاری (روز)

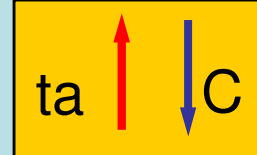
شرط عمل آوری در
رطوبت

$$(CF)_a = 1.25 t_a^{-0.118}$$

شرط عمل آوری در
بخار

$$(CF)_a = 1.13 t_a^{-0.095}$$

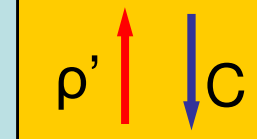
سن بارگذاری بر حسب روز =



3) تاثیر آرماتور فشاری

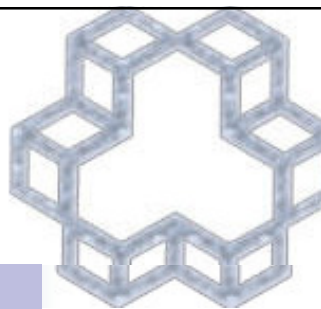
$$k_r = \frac{0.85}{1 + 50\rho'}, \quad \rho' = \frac{A'_s}{bd}$$

$$\Delta_{cp} = k_r C_t (\Delta_i)_{DL}$$



4) بقیه عوامل

تاثیر کم داشته لذا از آنها صرفنظر می گردد.



اثر جمع شدگی

جمع شدگی بتن در تیرها دارای اثراتی مشابه تغییرشکل بر اثر خزش می باشد.

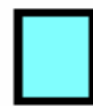
جمع شدگی تیر بتنی ایزوله شده مانند تیر با تسليح متقارن، با خمس همراه نیست.

عموماً جدا نمودن اثرات خزش و جمع شدگی بسیار مشکل می باشد.

۹۰٪ جمع شدگی در یک سال اول اتفاق می افتد، در حالیکه حداقل ۵ سال باید سپری گردد تا ۹۰٪ خزش اتفاق افتد.

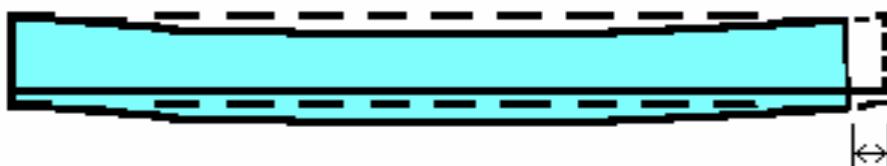
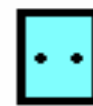


در اثر چسبندگی مناسب میلگرد ، در برابر
کوتاه شدن مقاومت می کند.

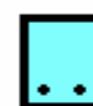


میلگردها در کف محدودیت بیشتری را اعمال می کنند

لذا کف تیر کمتر کوتاه می شود.



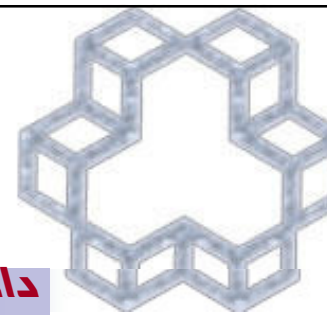
لذا کف تیر کمتر کوتاه می شود.



منشور بتنی
کوتاه می شود

در میلگرد گذاری
متقارن، منشور کمتر
کوتاه می شود

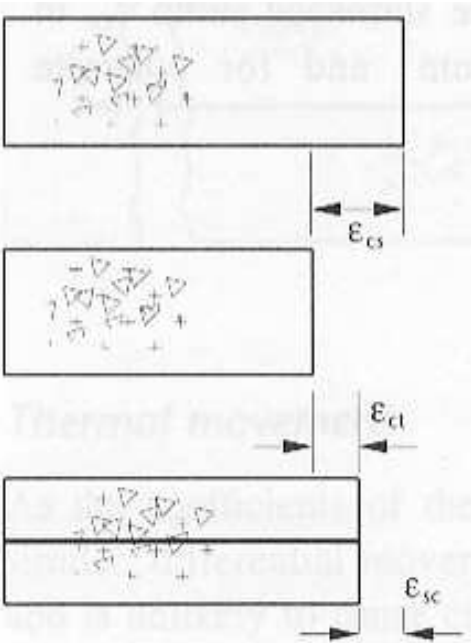
در منشور با میلگرد گذاری
غیر متقارن مثل تیر کوتاه شدگی
همراه با خمس است



دانشگاه صنعتی خواجه نصیرالدین طوسی

تنش های ناشی از جمع شدگی در میلگردگذاری متقارن

در صورت مسلح نبودن مقطع، در بتن جمع شدگی آزادی برابر ϵ_{cs} روی می دهد ولی در صورت وجود میلگرد میزان جمع شدگی بتن کاهش یافته و بدین علت در بتن کرنش کششی برابر ϵ_{ct} و در فولاد کرنش فشاری برابر ϵ_{sc} روی می دهد.



کرنش آزاد بتن

کرنش کششی بتن

کرنش فشاری میلگرد

$$\epsilon_{cs} = \epsilon_{ct} + \epsilon_{sc} = \frac{f_{ct}}{E_{cm}} + \frac{f_{sc}}{E_s}$$

$$A_c f_{ct} = A_s f_{sc} \Rightarrow f_{ct} = \frac{A_s}{A_c} f_{sc}$$

$$\epsilon_{cs} = f_{sc} \left(\frac{A_s}{A_c E_{cm}} + \frac{1}{E_s} \right)$$

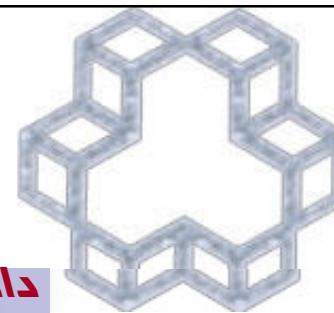
$$if \quad \alpha_e = \frac{E_s}{E_{cm}}$$

$$\epsilon_{cs} = f_{sc} \left(\frac{\alpha_e A_s}{A_c E_s} + \frac{1}{E_s} \right) = \frac{f_{sc}}{E_s} \left(\frac{\alpha_e A_s}{A_c} + 1 \right)$$

$$f_{sc} = \frac{\epsilon_{cs} E_s}{1 + \frac{\alpha_e A_s}{A_c}}$$

A_c : سطح مقطع بتن
 A_s : سطح مقطع فولاد

نیروی ایجاد شده در بتن و فولاد در تعادل
می باشند بنابراین:



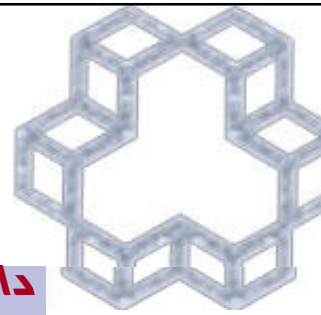
مثال ۱ :

عضوی دارای یک درصد میلگرد متقارن در مقطع می باشد، اگر کرنش آزاد بتن $\epsilon_{cs} = 10^{-6}$ باشد تنش ایجاد شده در بتن و فولاد را به علت جمع شدگی بتن بدست آورید.

$$E_s = 200 \text{ kN/mm}^2, \quad E_{cm} = 15 \text{ kN/mm}^2$$

$$f_{sc} = \frac{\epsilon_{cs} E_s}{1 + \alpha_e \frac{A_s}{A_c}} = \frac{200 \times 10^{-6} \times 200 \times 10^3}{1 + \frac{200}{15} \times 0.01} = 35.3 \text{ N/mm}^2 \quad \text{فشاری}$$

$$f_{ct} = \frac{A_s}{A_c} f_{sc} = 0.01 \times 35.3 = 0.35 \text{ N/mm}^2 \quad \text{کششی}$$



همان طور که در مثال ۱ مشاهده گردید در عضوی که دارای قید خارجی نمی باشد تنش های قابل ملاحظه ای ایجاد نمی شود. در صورت وجود قید خارجی کامل ، میلگردها دیگر امکان کرنش کردن را ندارند بنابراین ϵ_{sc} برابر صفر بوده و تمام کرنش آزاد بتن توسط تکیه گاه مهار شده و $\epsilon_{ct} = \epsilon_{cs}$ می باشد و تنش کششی بزرگتری برابر $E_c \times f_{ct} = \epsilon_{cs} \times E_c$ در بتن ایجاد می شود که می تواند باعث ترک خوردن بتن شود.

مثال ۲ :

در صورت ایجاد قید کامل خارجی در مثال ۱ تنش ایجاد شده در بتن را محاسبه نمایید.

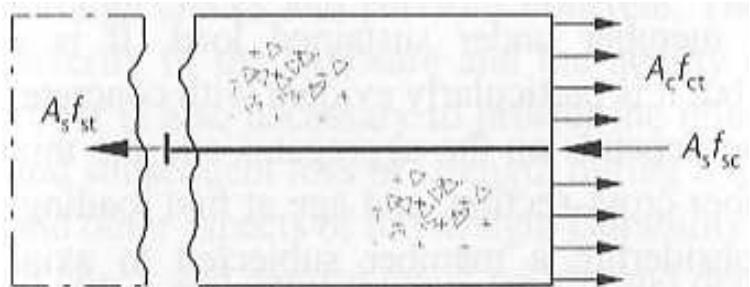
$$f_{ct} = \epsilon_{ct} E_{cm}$$

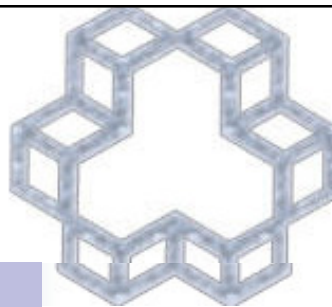
$$\epsilon_{ct} = \epsilon_{cs} = 200 \times 10^{-6}$$

$$f_{ct} = 200 \times 10^{-6} \times 15 \times 10^3 = 3.0 \text{ N/mm}^2$$

بعد از ایجاد ترک در عضو، میلگردهای آزاد شده در طول ترک تحت کشش افتاده ولی میلگردهای مدفون در بتن دچار فشار می شوند این امر بدان علت روی می دهد که بتن آزاد شده تمایل دارد به جمع شدگی خود ادامه دهد و مانند حالت اول (بدون قید خارجی) جمع شدگی از طرف آزاد مقطع روی می دهد و این باعث ایجاد فشار در میلگردها و ایجاد کشش در بتن می شود. این اتفاق عموما با تخریب موضعی اتصال بین میلگرد و بتن در جوار ترک روی می دهد.

تنش های ایجاد شده در بتن و فولاد مطابق شکل روبرو می باشد:





کرنش جمع شدگی

کمیته ACI 209 بر اساس تحقیقات Branson میزان کرنش جمع شدگی در زمان t بعد از عمل آوری اولیه را چنین تخمین می‌زنند.

$$\varepsilon_{sh} = \frac{t}{35+t} (\varepsilon_{sh})_u \quad \text{عمل آوری در شرایط رطوبت در 7 روز}$$

$$\varepsilon_{sh} = \frac{t}{55+t} (\varepsilon_{sh})_u \quad \text{عمل آوری در شرایط بخار در 1-3 روز}$$

$(\varepsilon_{sh})_u =$ کرنش جمع شدگی نهایی

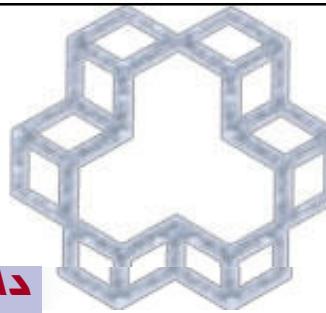
= 800×10^{-6} cm/cm برای 40% رطوبت

ضرایب تصحیح جمع شدگی

$$(CF)_h = 1.40 - 0.010H \quad 40\% \leq H \leq 80\%$$

$$(CF)_h = 3.00 - 0.030H \quad H \geq 80\%$$

چنانچه رطوبت بیشتر از 40% باشد ضریب تصحیح مقابله را باید در میزان کرنش جمع شدگی بالا بکار برد. بقیه عوامل به علت اثر کم صرفنظر می‌گردد.



کرنش های حرارتی:

از آنجایی که ضریب حرارتی بتن و فولاد مشابه می باشد جابجایی نسبی این دو به علت حرارت ناچیز و قابل صرف نظر کردن است ولی با وجود این درصورت تغییر حرارت به اندازه T می توان کرنش حرارتی ایجاد شده را به کرنش جمع شدگی ϵ_{cs} اضافه نمود.

$$\epsilon_T = T(\alpha_{T,c} - \alpha_{T,s})$$

از آنجایی که جمع شدگی حرارتی بتن در اکثر موارد اولین عامل ایجاد ترک در اعضا با قید خارجی می باشد می توان با کنترل مناسب حرارت در طی فرایند هیدراسیون این مشکل را تا حدودی حل نمود.

مثال 3:

میزان کاهش حرارت مورد نیاز را جهت ایجاد ترک در یک عضو بتونی مقید بدست آورید.

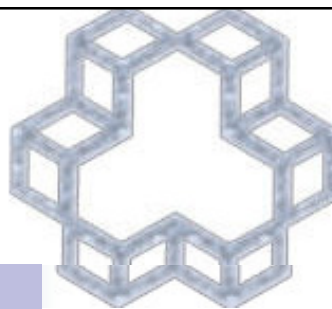
$$f_{ct,eff} = 2 \text{ N/mm}^2 , \quad E_{cm} = 16 \text{ kN/mm}^2 , \quad \alpha_{T,c} = \alpha_{T,s} = 10 \times 10^{-6} / {}^\circ C$$

$$\epsilon_{ult} = \frac{f_{ct,eff}}{E_{cm}} = \frac{2}{16 \times 10^3} = 125 \times 10^{-6}$$

کرنش نهایی بتون برابر است با :

$$T = \frac{\epsilon_{ult}}{\alpha_{T,c}} = \frac{125}{10} = 12.5 {}^\circ C$$

حداقل دمای مورد نیاز برای ایجاد ترک :



تغییر شکل‌های حاصل از جمع شدگی

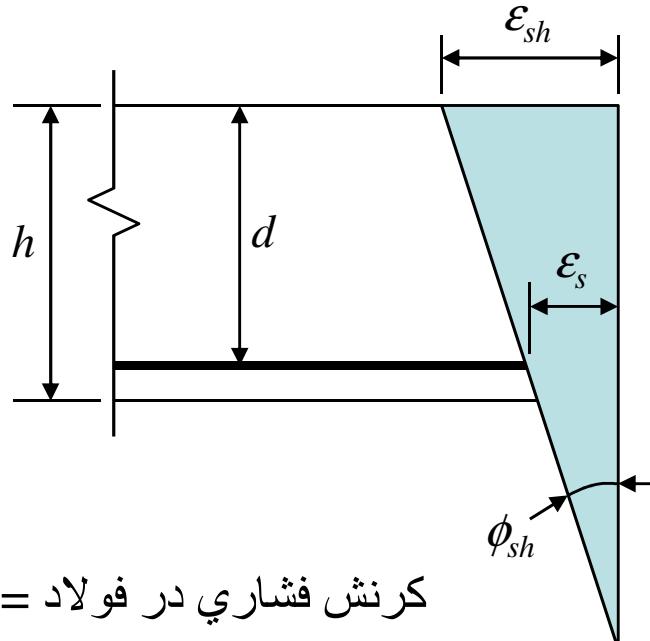
$$\phi_{sh} = \frac{\varepsilon_{sh} - \varepsilon_s}{d}$$

$$= \frac{\varepsilon_{sh}}{d} \left(1 - \frac{\varepsilon_s}{\varepsilon_{sh}} \right)$$

اگر کرنش جمع شدگی آزاد معلوم باشد انحناء جمع شدگی در یک تیر تک فولاده می‌تواند مطابق شکل زیر چنین محاسبه گردد.

چنین انhaniyi به نسبت فولاد کششی و فشاری مشابه انحناء خروش بستگی خواهد داشت.

Miller & Branson فرمول تجربی زیر را برای محاسبه انحنای جایگزین نسبت $\varepsilon_{sh}/\varepsilon_s$ در مقطع با فولاد فشاری نمودند.

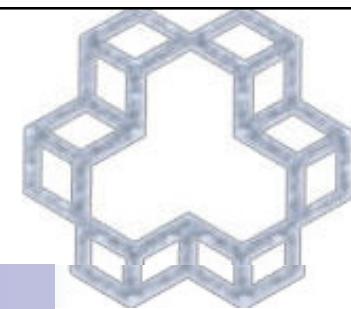


کرنش فشاری در فولاد = ε_s

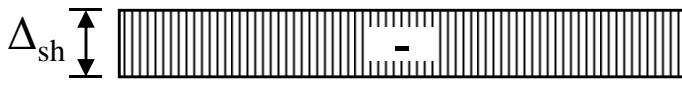
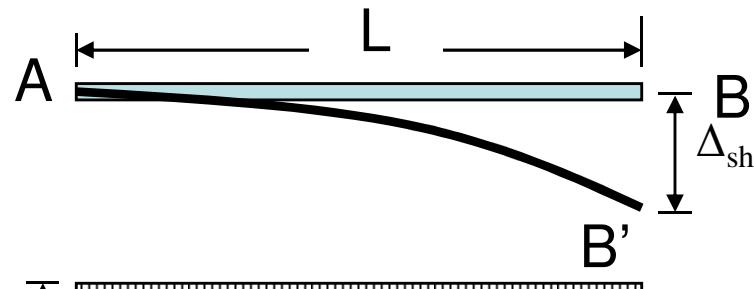
$$\phi_{sh} = 0.7 \frac{\varepsilon_{sh}}{h} (\rho - \rho')^{1/3} \left(\frac{\rho - \rho'}{\rho} \right)^{1/2} \quad \text{for } (\rho - \rho') \leq 3\%$$

$$\phi_{sh} = \frac{\varepsilon_{sh}}{h} \quad \text{for } (\rho - \rho') > 3\%$$

where ρ or $\rho' = 100(A_s \text{ or } A'_s)/bd$



تغییر شکلهای حاصل از جمع شدگی



دیاگرام M/EI معادل

$$\alpha_1 = 0.50 \quad \text{تیر طره :}$$

$$= 0.125 \quad \text{تیر دو سر ساده :}$$

$$= 0.086 \quad \text{تیر یکسر ممتد :}$$

$$= 0.063 \quad \text{تیر دو سر ممتد :}$$

$$\phi_{sh} = \quad \text{انحناء حاصل از جمع شدگی :}$$

$$L = \text{دهانه بر حسب متر}$$

اگر میزان انحناء در سرتاسر تیر معلوم باشد می‌توان میزان تغییر مکان را از روش سطح لنگر بدست آورد. از آنجاکه میزان M/EI در حقیقت انحنای ناشی از لنگر خمشی است، لذا دیاگرام Φ_{sh} به عنوان دیاگرام M/EI تلقی نمود.

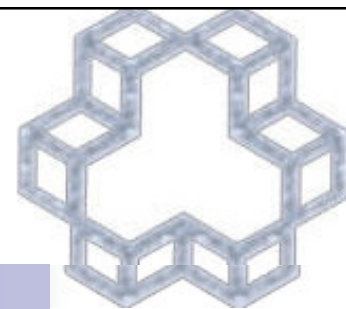
بطور مثال مطابق شکل مقابل برای یک تیر طره با انحناء ثابت Φ_{sh} در سرتاسر طول با استفاده از روش سطح لنگر خواهیم داشت:

لنگر دیاگرام Φ_{sh} میان A و B نسبت به

$$= (\phi_{sh} L) \left(\frac{L}{2} \right) = 0.5 \phi_{sh} L^2$$

بسته به شرایط تکیه گاهی می‌توان رابطه کلی زیر را برای محاسبه تغییر مکان ناشی از انحناء جمع شدگی در نظر گرفت که ضریب a براساس شرایط تکیه گاهی قابل برداشت از جدول مقابل است.

$$\Delta_{sh} = \alpha_1 \phi_{sh} L^2$$



تغییر شکل حاصل از مجموع خزش و جمع شدگی

آبین نامه بجای محاسبه مجزاء اثرات خزش و جمع شدگی اجازه می دهد که از فرمولی مشترک اثرات افتادگی دراز مدت را بر اساس میزان افتادگی کوتاه مدت محاسبه گردد.

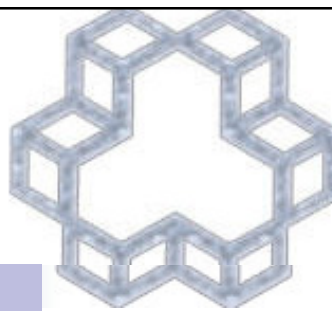
1-2-2-14 افتادگی اضافی ایجاد شده در قطعات در طول زمان را که در اصطلاح "اضافه افتادگی دراز مدت" نامیده می شود، در صورت عدم استفاده از روشای تحلیلی دقیقتر، می توان از حاصلضرب افتادگی آنی ناشی از بار مرده (دراز مدت) در ضریب λ که از رابطه زیر مشخص شده است، بدست آورد.

$$\Delta_{cp+sh} = k_r \zeta (\Delta_i)_{DL} = \lambda (\Delta_i)_{DL}$$

| طول مدت بار دراز مدت | ζ |
|----------------------|---------|
| 5 سال یا بیشتر | 2.0 |
| 1 سال | 1.4 |
| 6 ماه | 1.2 |
| 3 ماه | 1.0 |

$$\lambda = k_r \zeta = \frac{\zeta}{1 + 50\rho'}$$

نکته : جمع شدگی در دالها بیشتر از تیرها است



روشهایی دیگر محاسبه تغییر شکل حاصل از مجموع خزش و جمع شدگی

1- محاسبه تغییر مکان ناشی از اثرات مجزاء خزش و جمع شدگی توسط ACI 435 چنین توصیه شده است:

$$\Delta_{cp+sh} = \Delta_{cp} + \Delta_{sh}$$

$$\Delta_{sh} = \alpha_1 \phi_{sh} L^2$$

$$\Delta_{cp} = k_r C_t (\Delta_i)_{DL}$$

که در آن k_r ضریب مربوط به فولاد فشاری و C_t ضریب خزش با استفاده از فرمولهای صفحات قبل است:

2- روش دیگری مشابه روش ACI پیشنهاد شده است بجز آنکه ضریب ζ بر اساس جدول زیر برداشت می گردد:
 در صدهای پایین باید در مقادیر جدول فوق برای بارهای ماندگار که در مدت های زیر وارد می گردند ضرب گردد.

| مقاومت بتن MPa | متوسط رطوبت نسبی، سن بارگذاری | | | | | | | | |
|----------------------|-------------------------------|-----|------------|-----------|-----|------------|-----------|-----|------------|
| | %100 | | | %70 | | | %50 | | |
| | $\leq 7d$ | 7d | $\geq 28d$ | $\leq 7d$ | 7d | $\geq 28d$ | $\leq 7d$ | 7d | $\geq 28d$ |
| 17 to 28 | 2 | 5/1 | 1 | 3 | 2 | 5/1 | 4 | 3 | 2 |
| >28 | 5/1 | 1 | 7 | 5/2 | 8/1 | 2/1 | 5/3 | 5/2 | 5/1 |

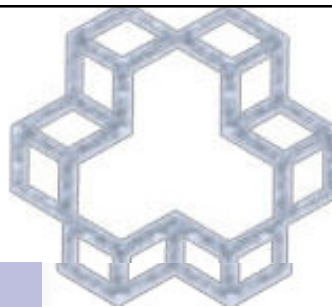
% برای 1 ماه یا کمتر

% برای 3 ماه

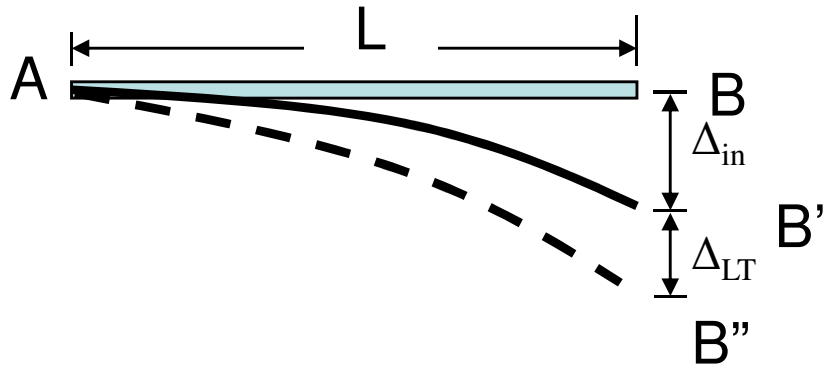
% برای یک سال

% برای 5 سال یا بیشتر

% مقادیر برای رطوبت زیر
استفاده می گردد.



برای بار مرده و زنده



$$\Delta_{\text{total}} = \Delta_{\text{DL(inst)}} + \Delta_{\text{LL(inst)}} \\ + \Delta_{\text{DL(L.T.)}} + \Delta_{\text{LL(L.T.)}}$$

ممکن است دارای Δ_{LL} و Δ_{DL} باشد. طول زمان) محاسبات Δ ضریب که مختلفی برای LT باشد

روش کنترل تغییرشکل

برای دال یکطرفه:

(\mathbf{h}_{\min}) ضخامت حداقل

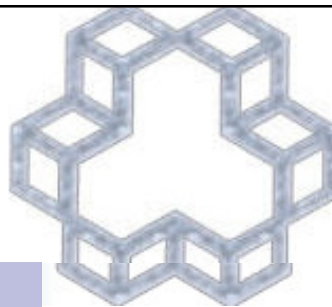
ب) کنترل حیز مجاز

برای دال دو طرفه:

(\mathbf{h}_{\min}) ضخامت حداقل

$$\Delta_{\text{total}} \left(\begin{array}{c} \text{بعد از اتصال} \\ \text{اعضای غیر سازه ای} \end{array} \right) = \Delta_{\text{total}} - \Delta_{\text{DL(inst)}}$$

مقدار مناسب I_c باید برای محاسبه Δ در هر سطح بارگذاری استفاده شود.



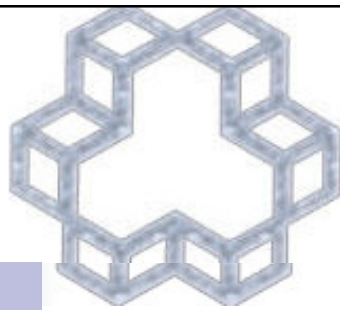
حداقل ضخامت

1- دال یکطرفه

حداقل ضخامت بر اساس جدول ذیل تعیین می گردد

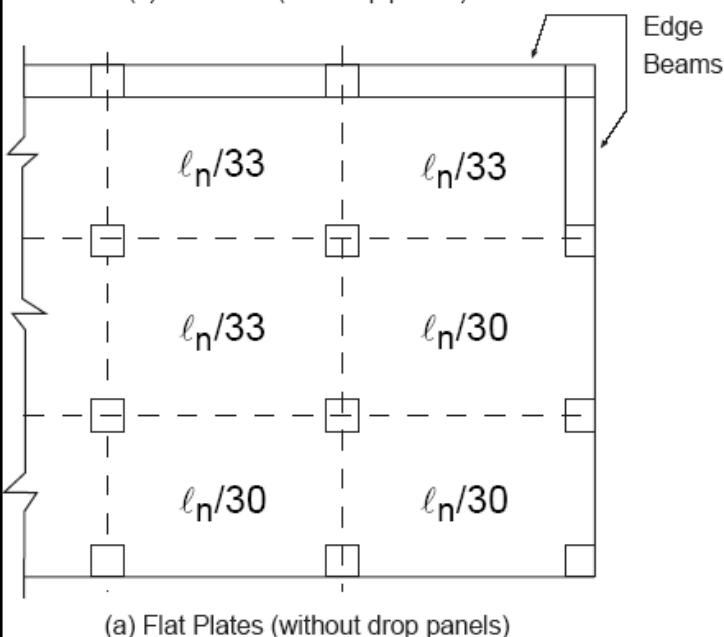
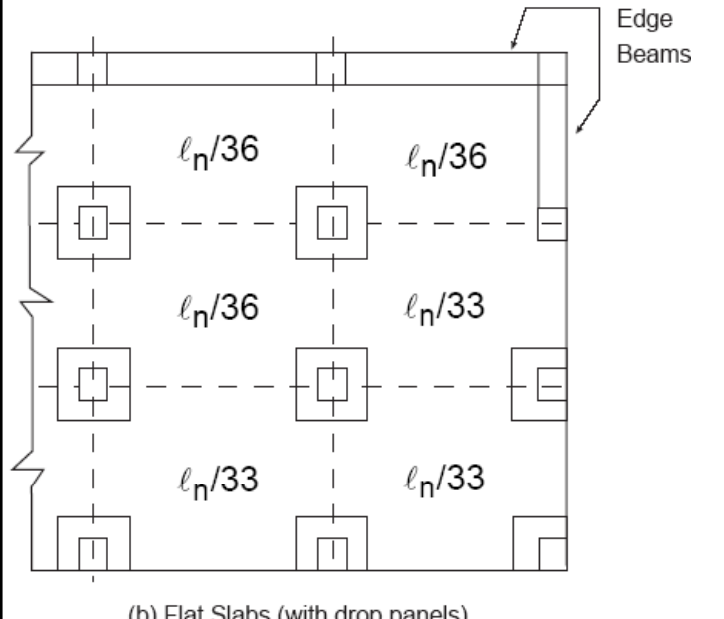
| f_y | 400 | 240 | 400 | 240 |
|-------|------|------|--------|--------|
| Slab | L/20 | L/27 | L/24 | L/32 |
| Beam | L/16 | L/21 | L/18.5 | L/24.5 |

- مشروط بر آنکه به عناصر غیر سازه ای که در اثر تغییر شکل آنها آسیب بیینند متصل نباشند
- برای f_y به غیر از 400 MPa مقادیر داده شده باید در ضریب $0.4 + f_y/670$ ضرب شوند.

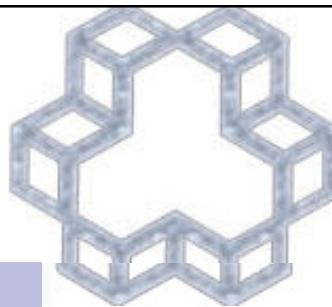


دالهای دو طرفه

حداقل ضخامت دال تخت بدون تیر میانی (h_{min})
با تیر میانی ولی α_m مساوی یا کوچکتر از 2/0 است



| نوع فولاد | با کتیبه | | بدون کتیبه | | نوع فولاد |
|-----------|----------------|-----------------|----------------|-----------------|--------------|
| | پانل‌های درونی | پانل‌های بیرونی | پانل‌های درونی | پانل‌های بیرونی | |
| | با تیر لبه | بدون تیر لبه | با تیر لبه | بدون تیر لبه | |
| | -- | با تیر لبه | بدون تیر لبه | -- | با تیر لبه |
| | $L_n/40$ | $L_n/40$ | $L_n/36$ | $L_n/36$ | بدون تیر لبه |
| | $L_n/36$ | $L_n/36$ | $L_n/33$ | $L_n/33$ | $L_n/33$ |
| | | | | | S300 |
| | | | | | S400 |



دالهای دو طرفه (با تیر داخلی)

حداقل ضخامت دال با تیر میانی (h_{min})

$$h_{min} = \frac{l_n(800 + 0.6f_y)}{36000 + 5000\beta(\alpha_m - 0.2)} > 125 \text{ mm} \quad : \quad 0.2 < \alpha_m < 2$$

$$h_{min} = \frac{l_n(800 + 0.6f_y)}{36000 + 9000\beta} > 90 \text{ mm} \quad : \quad 2 < \alpha_m$$

که:

$$\alpha = \frac{E_{cb}}{E_{cs}} \frac{b}{l} \left(\frac{a}{h} \right)^3 f$$

α = سختی نسبی تیر به دال

α_m = متوسط α

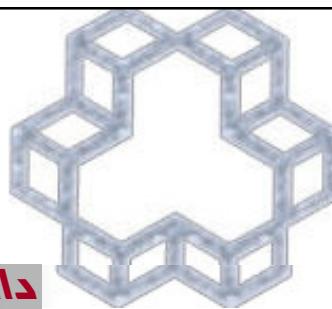
f = ثوابت بر اساس اشکال چند صفحه بعد

β = نسبت طول دهانه آزاد بزرگتر به طول دهانه آزاد کوچکتر

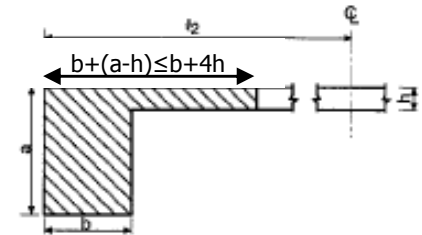
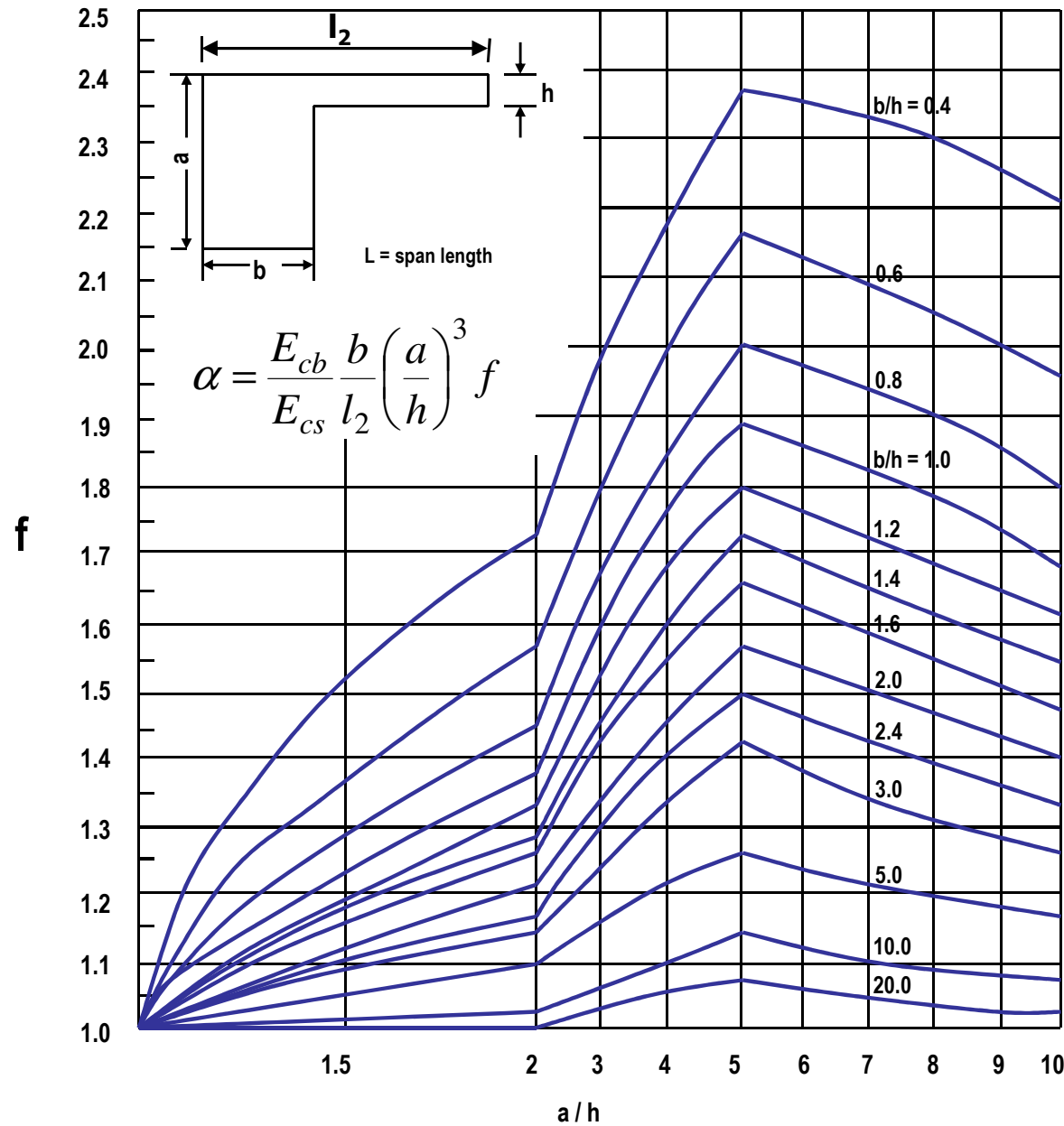
l_n = طول دهانه آزاد بزرگتر

f_y = مقاومت تسلیم فولاد بر حسب مگا پاسکال

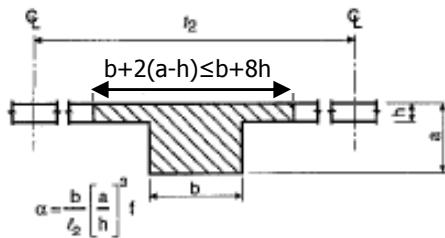
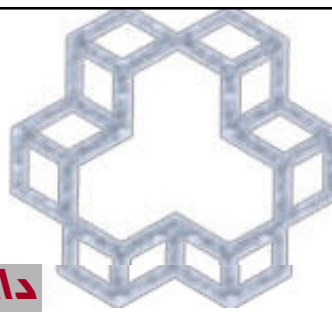
عرض نوار طراحی (دردهانه کناری برابر نصف دهانه عمود بعلاوه نصف عرض ستون) = l



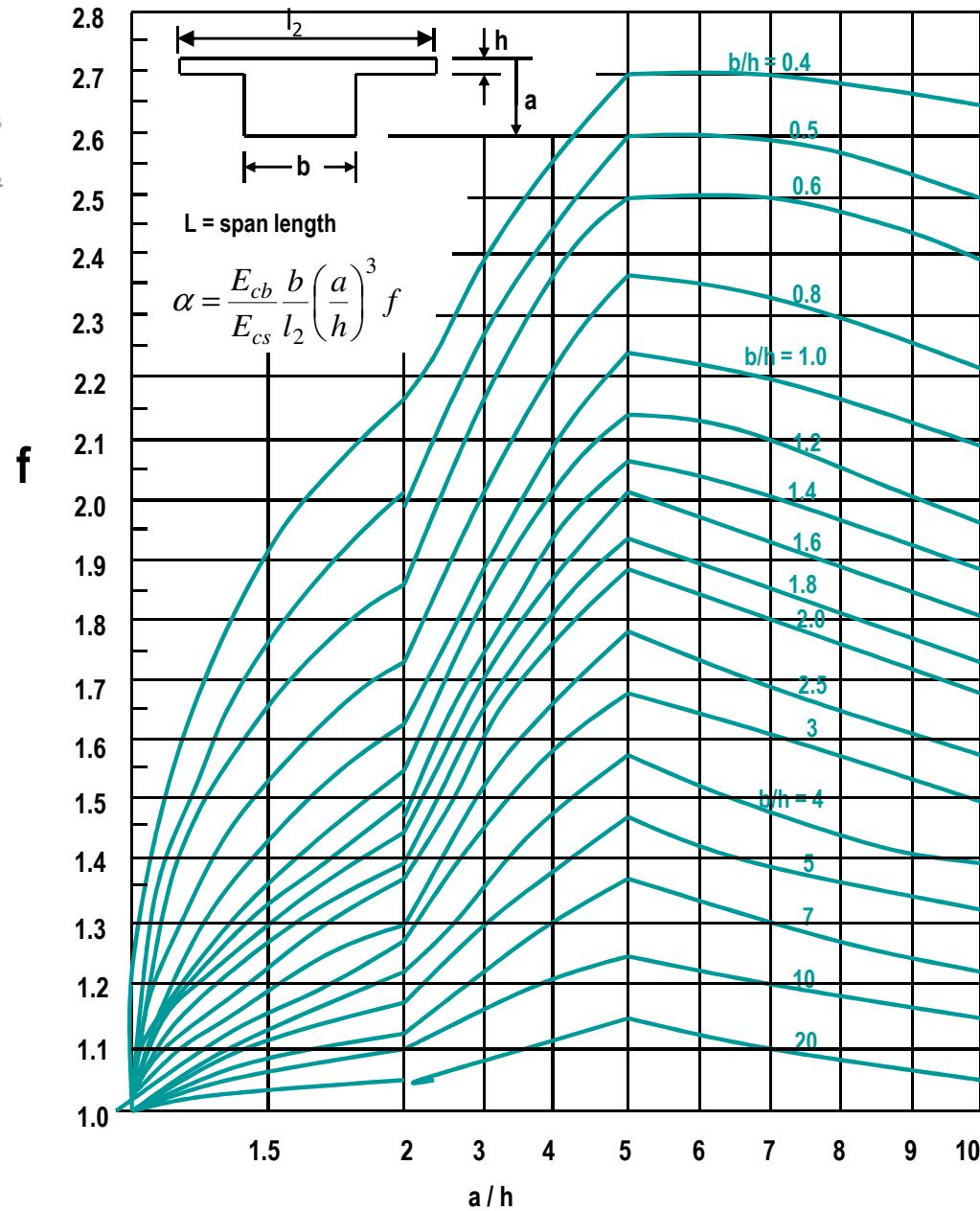
دانشگاه صنعتی خواجه نصیرالدین طوسی

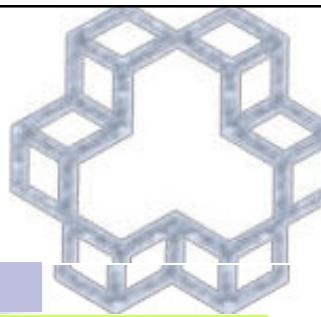


$$I_b = \frac{ba^3}{12} f$$



$$I_b = \frac{ba^3}{12} f$$





تغییر مکان مجاز

| | |
|-----------------------------|------------------------------------|
| Δ_{total} | = تغییر شکل کل |
| $\Delta_{(i)}$ | = تغییر شکل آنی |
| $\Delta_{(\text{cs})}$ | = تغییر شکل کوتاه مدت |
| $\Delta_{\text{allowable}}$ | = تغییر شکل ناشی از خوش و جمع شدگی |
| | = تغییر شکل طولانی مدت |
| | = تغییر شکل مجاز |

$$\Delta_{\text{total}} = \Delta_{(i)} + \Delta_{(\text{cs})}$$

$$\Delta_{\text{total}} < \Delta_{\text{allowable}}$$

تغییر مکان مجاز به عوامل مختلفی بستگی دارد:

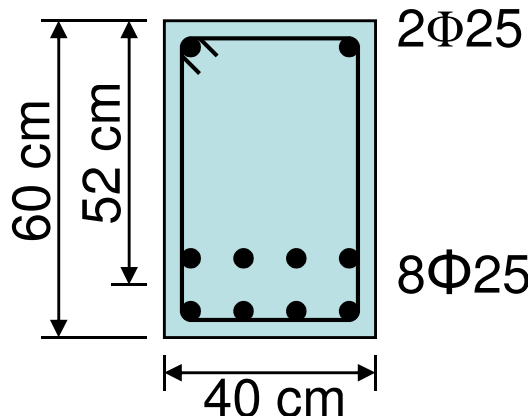
- 1- نوع ساختمان (انبار، مدرسه، کارخانه، مسکونی و غیره)
- 2- وجود سقف پلاستر (گچی)
- 3- نوع و ترتیب پارتیشنها
- 4- حساسیت تجهیزات به جاگایی
- 5- اندازه مدت اعمال بار زنده

جدول 1-4-2-14 محدودیت افتادگی تیرها و دالها

| محدودیت افتادگی | افتادگی مورد نظر | انواع قطعه |
|---|--|--|
| $\Delta_{LL(\text{inst})} \leq \frac{l}{180}$ | افتادگی آنی ناشی از بارهای زنده | 1- بام های مسطح که به قطعاتی غیر سازه ای متصل نیستند یا آنها را نگهداری نمی کنند که افتادگی زیاد آسیبی در این قطعات ایجاد کند |
| l/360 | مانند بالا | 2- مانند بالا در مورد کف ها |
| l/480 | آن قسمت از افتادگی که بعد از اتصال قطعات غیر سازه ای متصل هستند یا آنها را ای ایجاد می شود. منظور مجموع اضافه افتادگی دراز مدت ناشی از تمامی بارهای مرده و افتادگی آنی ناشی از بارهای زنده است | 3- بامها یا کف هایی که به قطعات غیر سازه ای متصل هستند یا آنها را نگهداری می کنند و افتادگی زیاد ممکن است آسیبی در این قطعات ایجاد کند |
| l/240 | | 3- بامها یا کف هایی که به قطعات غیر سازه ای متصل هستند یا آنها را نگهداری می کنند ولی افتادگی زیاد آسیبی در این قطعات ایجاد نمی کند |

در مواردی که تغییر مکانهای دراز مدت مورد نظر است، آن قسمت از تغییر مکان که قبل از اتصال اجزاء غیرسازه ای ایجاد می شود را می توان از کل تغییر مکان کم کرد.

مثال 2: مطلوب است افت کل تیر مثال 1 برای بار بلند مدت در 5 سال یا بیشتر



حل: الف) افت میانی از مثال 1

$$(\Delta_i)_{DL} = 5.3 \text{ mm}$$

$$(\Delta_i)_{DL+LL} = 22.6 \text{ mm}$$

$$(\Delta_i)_{LL} = 17.3 \text{ mm}$$

ب) محاسبه افت ناشی از خرش و جمع شدگی:

$$\rho' = A'_s / bd = 2(4.91) / (40)(52) = 0.0047$$

$$\lambda = k_r \xi = \frac{2.0}{1 + 50(0.0047)} = 1.62$$

$$\Delta_{cr+sh} = \lambda (\Delta_i)_{DL} = 1.62(5.3) = 8.6 \text{ mm}$$

از آنجا که $(\Delta_i)_{DL}$ می تواند توسط خیز به سمت بالا رفع شود لذا:

$$\Delta_{total} = (\Delta_i)_{LL} + \Delta_{cr+sh} = 17.3 + 8.6 = 25.9$$